

# Compactifications des espaces de configuration dans les schémas de Hilbert

L. Evain (evain@tonton.univ-angers.fr)

**Résumé:** Soient  $F(X, n) := X^n - \Delta$  le complémentaire de l'union  $\Delta$  des diagonales dans  $X^n$ , et  $U$  un quotient (éventuellement trivial) de  $F(X, n)$  par un sous-groupe du groupe symétrique  $S_n$ . Ce travail présente des procédés de compactification de  $U$  dans des produits de schémas de Hilbert. Notre démarche généralise et unifie des constructions classiques dues à Schubert-Semple, Le Barz-Keel, Kleiman et Cheah. Une étude géométrique plus détaillée est faite pour les cas  $n \leq 3$ . Cette étude inclut notamment une classification complète et une description des morphismes quotients par les actions naturelles.

## 1 Introduction

### 1.1 Quelques compactifications classiques et leurs applications.

L'histoire des compactifications des espaces de configuration  $F(X, n)$  est ancienne. Elle trouve son origine au siècle passé dans des problèmes de géométrie énumérative. Au fil des années, et jusque très récemment, de nouvelles constructions sont apparues au gré des besoins. Illustrons ces nombreuses constructions en présentant les plus classiques.

Dès 1880, Schubert [Sch] utilise une compactification de la variété des triangles ( $X = \mathbb{P}^2$  et  $n = 3$ ) pour résoudre des problèmes énumératifs. Son travail est modernisé par Semple [S]. Tyrell [Ty], Roberts et Speiser [RS], s'appuyant sur le travail de Semple, démontrent rigoureusement certaines formules de Schubert. Collino et Fulton [CF] calculent complètement l'anneau d'intersection de cette compactification et retrouvent également les résultats de Schubert. Le Barz étend la construction de Schubert-Semple à toute variété lisse par l'utilisation de schémas de Hilbert [LB] et Keel l'étend à tout schéma par une approche fonctorielle [Kee].

Kleiman [K] construit une compactification de  $F(X, n)$  par récurrence sur  $n$  en utilisant des points infiniment voisins. Cette approche lui permet d'obtenir des formules décrivant le lieu multiple d'un morphisme. Dolgachev et Ortland [DO] en déduisent d'autres constructions en liaison avec les fonctions theta.

La compactification de Fulton-MacPherson [FMP] admet plusieurs définitions, soit fonctorielle, soit géométrique, l'une d'entre elles étant un éclatement subtil de  $X^n$ . Quand  $X$  est compact, elle permet le calcul du type d'homotopie rationnel des espaces de configuration en fonction des invariants de  $X$ . Citons enfin le travail de Cheah [Ch] qui a étudié des compactifications similaires dans l'esprit à celle de LeBarz, se projetant sur le schéma de Hilbert  $Hilb^n(X)$ .

## 1.2 Le problème

Expliquons plus en détail l'approche de Le Barz, qui est le point de départ de notre travail. Etant donnés trois points distincts  $p_1, p_2, p_3$  de  $X$ , on peut former les trois doublets  $d_{12} := p_1 \cup p_2, d_{13}, d_{23} \in \text{Hilb}^2(X)$  et le triplet  $p_{123} = p_1 \cup p_2 \cup p_3 \in \text{Hilb}^3(X)$ . Cette construction se reformule en disant que  $F(X, 3)$  est isomorphe à un sous-schéma  $Z(X)$  localement fermé de  $X^3 \times \text{Hilb}^2(X)^3 \times \text{Hilb}^3(X)$ . L'adhérence  $\overline{Z(X)}$  est donc une compactification naturelle de  $F(X, 3)$  dans un produit de schémas de Hilbert. Le Barz a montré que cette adhérence, à priori difficilement manipulable, peut en fait être décrite géométriquement en termes de lieux d'incidence: les points de l'adhérence sont les 7-uplets  $(p_1, p_2, \dots, p_{123})$  satisfaisant les relations évidentes  $p_1 \subset d_{12} \subset p_{123}, p_3$  est le résiduel de  $d_{12}$  dans  $p_{123}$  et les relations s'en déduisant par symétrie. Keel a remarqué que cette description par adhérence pouvait être exploitée pour donner une définition de  $\overline{Z(X)}$  comme représentant d'un certain foncteur et en déduire quelques conséquences géométriques. On obtient donc finalement une compactification agréable à manipuler car elle jouit d'une triple définition, par adhérence, par incidence, et fonctorielle. Cette multiplicité des points de vue est très semblable à l'approche de [FMP].

Dans la frontière de la compactification construite par Le Barz, toutes les informations sur la collision des points  $p_1, p_2, p_3$  se trouvant dans les schémas de Hilbert n'ont visiblement pas été exploitées. Par exemple, deux doublets  $d_{12}$  et  $d_{13}$  de  $\text{Hilb}^2(X)$  distincts définissent un point  $d^1$  de  $\text{Hilb}^2(\text{Hilb}^2(X))$ . Utilisant les points  $d^1, d^2, d^3$ , on peut construire par adhérence une compactification de  $F(X, 3)$  dans un produit plus gros contenant des facteurs de la forme  $\text{Hilb}^2(\text{Hilb}^2(X))$ . Réitérant le processus, on peut construire des compactifications dans des espaces produits  $P_1 \times \dots \times P_n$ , chacun des termes  $P_i$  du produit étant un schéma de Hilbert emboîté  $\text{Hilb}^{p_i}(\text{Hilb}^{p_i-1}(\dots \text{Hilb}^{p_i}(X)))$ . En variant les termes  $P_i$ , on a donc une infinité de compactifications à notre disposition.

Le travail qu'on se propose d'effectuer ici est d'étudier et de classifier les compactifications obtenues par ce procédé.

## 1.3 Les résultats

Cet article s'articule en trois parties. Premièrement, on dégage les notions d'incidence et les foncteurs qui permettent de manipuler les compactifications aisément via une triple définition (par adhérence, par incidence et fonctorielle - section 2). Ensuite, on classifie les compactifications de  $F(X, n)$  et de ses quotients obtenus quand  $n \leq 3$  et on étudie la géométrie des compactifications obtenues (sections 4 et 5). Enfin, on compare les compactifications obtenues aux compactifications classiques décrites ci-dessus (section 6).

Le cas  $n = 2$  étant trivial, on ne présente dans cette introduction que les résultats concernant les compactifications de  $F(X, n = 3)$ . On peut extraire de cette étude deux résultats surprenants. Tout d'abord, alors qu'il existe une infinité de choix possibles pour le produit dans lequel on construit la compactification de  $F(X, 3)$ , il n'existe à posteriori qu'un nombre fini de compactifications à isomorphisme près.

**Théorème 1.** *Il y a à isomorphisme de compactification près 11 compactifications de  $F(X, 3)$  où de ses quotients obtenues par notre procédé. De plus, toute compactification est isomorphe à une compactification dans  $P_1 \times \dots \times P_r$  où chaque  $P_i$  est soit de la forme  $\text{Hilb}^i(X)$ , soit de la forme  $\text{Hilb}^i(\text{Hilb}^j(X))$ .*

Ces variétés seront notées  $R_{123}(X), R_{123}^1(X) \dots$ . La signification précise des notations sera développée dans le corps du texte et n'est pas nécessaire à cette introduction ( grossièrement, les indices sont

relatifs aux termes  $Hilb^i(X)$  tandis que les exposants sont relatifs aux termes  $Hilb^i(Hilb^j(X))$ . Par exemple, la variété  $R_{123}^1$  est l'adhérence du morphisme  $f : F(X, 3) \rightarrow Hilb^3(X) \times Hilb^2(Hilb^2(X))$  défini par  $f(p_1, p_2, p_3) = (p_{123}, d^1)$  avec les notations précédentes).

Le deuxième fait inattendu est que les structures d'ordre supérieur (c'est à dire les termes de la forme  $Hilb^{p_l}(Hilb^{p_{l-1}}(\dots Hilb^{p_1}(X)))$ , avec  $l \geq 2$ ) peuvent être utilisées pour décrire les passages au quotient. Par exemple, la variété construite par Le Barz dans  $X^3 \times Hilb^2(X)^3 \times Hilb^3(X)$  est naturellement munie d'une action du groupe symétrique  $S_3$  et la structure d'ordre deux  $Hilb^3(Hilb^2(X))$  permet une description explicite du quotient:

**Théorème 2.** *Le quotient de la variété de Le Barz est isomorphe à l'adhérence de  $F(X, 3)/S_3$  dans  $Hilb^3(Hilb^2(X)) \times Hilb^3(X)$ .*

Ce théorème était en fait notre motivation première: obtenir une description du quotient de la variété de Le Barz aisément manipulable via ses propriétés universelles (voir le contexte à la fin de cette introduction). En d'autres termes, les structures de niveau supérieur s'imposent d'elles mêmes quand il s'agit d'étudier les quotients. Ce principe est illustré par le théorème général suivant qui dit que les compactifications construites ont le mérite de former une classe de compactifications stable par quotient.

**Théorème 3.** *Supposons le corps  $k$  de caractéristique différente de deux et trois. Les groupes agissant sur*

$$\begin{aligned} &R_{123}(X), R_{1,123}(X), R_{1,2,3,12,123}(X), R_{3,12,123}(X) \\ &R_{123}^1(X), R_{1,2,3,12,13,123}^1(X), R_{123}^{123}(X), R_{1,123}^{123}(X) \\ &R_{3,12,123}^{3,123}(X), R_{1,2,3,12,123}^{3,123}(X), R_{max}(X) \end{aligned}$$

sont les groupes symétriques

$$\begin{aligned} &S_1, S_1, S_2, S_1 \\ &S_1, S_2, S_1, S_1 \\ &S_1, S_2, S_3 \end{aligned}$$

et les quotients respectifs sont

$$\begin{aligned} &R_{123}(X), R_{1,123}(X), R_{3,12,123}(X), R_{3,12,123}(X) \\ &R_{123}^1, R_{123}^1, R_{123}^{123}(X), R_{1,123}^{123}(X) \\ &R_{3,12,123}^{3,123}(X), R_{3,12,123}^{3,123}(X), R_{123}^{123}(X) \end{aligned}$$

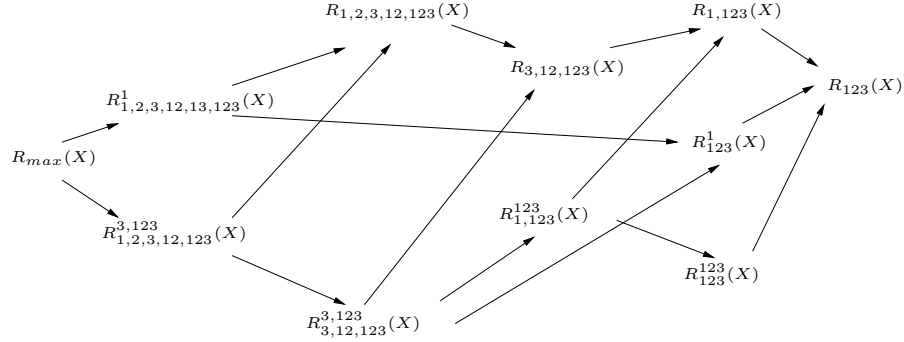
Le quotient partiel de  $R_{max}(X)$  par  $S_2$  est  $R_{3,12,123}^{3,123}(X)$ .

De façon évidente, si  $P_1$  et  $P_2$  sont des produits de schéma de Hilbert emboîtés, l'adhérence de  $F(X, 3)$  dans  $P_1 \times P_2$  se projette sur l'adhérence dans  $P_1$ . En termes fonctoriels, on a un morphisme d'oubli. Le théorème suivant dit que les morphismes quotients du dernier énoncé sont essentiellement des morphismes d'oubli.

**Théorème 4.** *Soient  $R_\alpha$  et  $R_\beta$  deux compactifications de  $F(X, 3)$  telles que  $R_\beta$  soit le quotient de  $R_\alpha$  par un sous-groupe  $G$  du groupe symétrique  $S_3$ . Alors il existe une compactification  $R'_\alpha$  isomorphe à  $R_\alpha$  telle que le passage au quotient  $R'_\alpha \rightarrow R_\beta$  soit un morphisme d'oubli.*

Les rapports entre les différentes compactifications est résumé par le théorème suivant, établi au cours de la démonstration de la classification, et clé des autres théorèmes.

**Théorème 5.** *Chacune des compactifications est munie d'une stratification naturelle. Pour chacune des stratifications, il existe une strate générale, ouverte et dense, et une strate spéciale incluse dans l'adhérence de toutes les autres strates. Les morphismes d'oubli liant les compactifications sont donnés par les flèches du diagramme suivant et leurs compositions. De plus, l'image inverse d'une strate*



par l'un quelconque de ces morphismes est une réunion de strates.

Enfin, les liens unissant les variétés que nous avons construites et les constructions classiques sont explorés et résumés par le théorème suivant.

**Théorème 6.** *Les variétés  $R_{max}(X)$ ,  $R_{1,2,3,12,13,123}^1(X)$ ,  $R_{1,2,3,12,123}(X)$ ,  $R_{1,23,123}^{1,123}(X)$ ,  $R_{123}^{123}(X)$ ,  $R_{123}^1(X)$  sont respectivement les variétés de LeBarz  $\widehat{H}_3(X)$ , de Kleiman  $K_3(X)$ , de Cheah, les quotients  $\widehat{H}_3(X)/S_2$ ,  $\widehat{H}_3(X)/S_3$ ,  $K_3(X)/S_2$ . En outre,  $R_{max}(X)$  s'identifie à la variété de Schubert Simple dans le cas où  $X = \mathbb{P}^2$ .*

Il convient de préciser la signification du terme “compactification” figurant dans les énoncés précédents. Comme expliqué, les variétés considérées vivent dans des produits de schémas de Hilbert emboîtés  $Hilb^{p_i}(Hilb^{p_{i-1}}(\dots(Hilb^{p_1}(X))))$  et admettent trois définitions différentes: comme adhérence de morphisme, comme lieu schématique d'incidence, ou par représentabilité de certains foncteurs. Si on se fixe un produit  $P$  de schémas de Hilbert emboîtés, on disposera d'un morphisme  $F(X, n) \rightarrow P$  et les compactifications qui nous intéressent sont les adhérences des images. Dans le cas où  $P = Hilb^3(Hilb^2(X)) \times Hilb^3(X)$ , on peut donner une définition satisfaisante du lieu schématique paramétrant les couples  $(d, t)$  pour lesquels le triplet de doublets  $d$  est inclus dans le triplet  $t$ . On montre que ce lieu d'incidence coïncide avec l'adhérence du morphisme  $F(X, 3) \rightarrow P$ . La situation générale est un peu moins simple: étant donné un produit  $P$  de schémas de Hilbert emboîtés et le morphisme  $F(X, 3) \rightarrow P$  correspondant, il y aura un lieu schématique d'incidence naturel  $R \subset P$  tel que l'adhérence  $A$  de l'image vérifie  $A \subset R$ . Le schéma  $R$  représente toujours un foncteur mais on n'aura pas en général  $A = R$ . Les “belles” compactifications, celles que nous chercherons à classifier, seront celles pour lesquelles  $A = R$ . C'est le sens du mot compactification dans les énoncés.

## 1.4 Application de ces constructions

A l'instar des compactifications classiques présentées au début de cette introduction, il existe des applications ayant motivé nos constructions. Même si ces applications seront développées ailleurs, nous les donnons ici à titre de motivation.

Le problème original consistait à comprendre les collisions de trois gros points sur une surface lisse  $S$ , où rappelons le, un gros point de taille  $m$  est un sous-schéma défini par la puissance  $m^{\text{eme}}$  d'un idéal maximal. Plus précisément, notons  $\text{Coll}(n_1, n_2, n_3)(S)$  la sous-variété irréductible de  $\text{Hilb}(S)$  dont le point générique paramètre la réunion générique de trois gros points de  $S$  de taille  $n_1, n_2, n_3$ . Les collisions de trois gros points sont les points de la frontière de  $\text{Coll}(n_1, n_2, n_3)(S)$ . Le résultat principal de [Ev] dit que lorsque  $n_1, n_2, n_3$  parcourent  $\mathbb{N}^3$ , alors  $\text{Coll}(n_1, n_2, n_3)(S)$  ne parcourt qu'un nombre fini de classes d'isomorphismes. La méthode consiste à construire des isomorphismes explicites avec certaines des compactifications décrites dans le présent article. On en déduit une classification des collisions en étudiant la restriction des isomorphismes à leur frontière.

Citons pour finir deux problèmes classiques pour lesquels les compactifications par schémas de Hilbert emboîtés pourraient se révéler utiles. Si  $X$  est une variété lisse, les problèmes de construire de façon explicite une compactification lisse de  $F(X, n)$  se projetant sur le schéma de Hilbert  $\text{Hilb}^n(X)$  et une compactification lisse de  $X^n/S_n$  restent ouverts. On peut espérer une réponse positive à la question suivante: existe-t-il des compactifications construites dans des produits de schémas de Hilbert emboîtés qui soient solutions des deux problèmes précédents ?

Il résulte de ce travail que la réponse est oui pour  $n = 3$  (les compactifications qui conviennent sont  $R_{\max}(X)$  et  $R_{123}^{123}(X)$ ).

Je remercie vivement A. Hirschowitz pour ses conseils lors de la réalisation de ce travail.

## 2 Définition des compactifications

Dorénavant,  $X$  est un schéma projectif sur un corps algébriquement clos  $k$  de caractéristique quelconque (quasi-projectif conviendrait également en adaptant quelques démonstrations).

Dans cette section, on définit les compactifications et on donne les premières propriétés découlant directement des définitions. Dans la section 2.1, on définit un morphisme  $f_\eta : F(X, n) \rightarrow H_\eta$  où  $H_\eta$  est un produit de schémas de Hilbert emboîtés dépendant d'une donnée combinatoire  $\eta$ . Pour chaque  $\eta$ , il existe un sous-groupe  $G_\eta$  du groupe symétrique  $S_n$  tel que l'adhérence  $A_\eta := \overline{f_\eta(F(X, n))}$  soit une compactification du quotient  $F(X, n)/G_\eta$ . Dans la section 2.2, on définit à l'aide de relations d'incidence un lieu  $R_\eta$  dans  $H_\eta$  tel que  $A_\eta \subset R_\eta$ . Dans la section 2.3, on introduit des foncteurs  $F_\eta$  dont on montre qu'ils sont représentables par  $R_\eta$ .

Les compactifications  $A_\eta$  qui nous intéressent sont celles pour lesquelles  $A_\eta = R_\eta$ . Autrement dit, ce sont celles dont la structure est riche de sorte qu'elles puissent être définies au choix par adhérence (via  $f_\eta$ ), par lieu schématique d'incidence (via  $R_\eta$ ) ou encore par functorialité (via  $F_\eta$ ).

### 2.1 Définition par adhérence

On va définir successivement un enrichissement  $\eta$ , le schéma de Hilbert associé  $H_\eta$ , le morphisme  $f_\eta : F(X, n) \rightarrow H_\eta$ , le groupe  $G_\eta$ . La section se conclut par la proposition 10 qui dit que  $A_\eta :=$

$\overline{f_\eta(F(X, n))}$  est une compactification du quotient  $F(X, n)/G_\eta$ .

Soit  $E = \{1, \dots, n\}$ . Pour  $p > 0$ , notons  $\Sigma_p(E)$  les sous-ensembles de cardinal  $p$  de  $E$ . Définissons récursivement  $\Sigma_{p_1, \dots, p_1}(E) := \Sigma_{p_1, \dots, p_2}(\Sigma_{p_1}(E))$  et  $\Sigma(E) = \cup_{l \in \mathbb{N}^*, (p_1, \dots, p_1) \in (\mathbb{N}^*)^l} \Sigma_{p_1, \dots, p_1}(E)$ . Un élément de  $\Sigma(E)$  (resp. de  $\Sigma_{p_1, \dots, p_1}(E)$ ) est appelé une structure sur  $E$  (resp. une structure de niveau  $l$ ). Notons  $Hilb^p(X)$  le schéma de Hilbert paramétrant les sous-schémas ponctuels de  $X$  de longueur  $p$ . On pose  $Hilb^{p_1, p_1-1, \dots, p_1}(X) := Hilb^{p_1}(Hilb^{p_1-1}(\dots(Hilb^{p_1}(X))))$ . Si  $\sigma \in \Sigma_{p_1, \dots, p_1}(E)$ , on posera  $H_\sigma(X) = Hilb^{p_1, p_1-1, \dots, p_1}(X)$  et  $H_\sigma^-(X) = Hilb^{p_1-1, \dots, p_1}(X)$ . Pour tout élément  $\sigma$  de  $\Sigma_{p_1, \dots, p_1}(E)$  (resp. de  $Hilb^{p_1, p_1-1, \dots, p_1}(X)$ ), on note  $[\sigma]$  le sous-ensemble de  $\Sigma_{p_1, \dots, p_1}(E)$  (resp. le sous-schéma de  $Hilb^{p_1, p_1-1, \dots, p_1}(X)$ ) paramétré par  $\sigma$ .

**Définition 7.** Soit  $\sigma \in \Sigma(E)$ . On note  $f_\sigma : F(X, n) \rightarrow H_\sigma(X)$  le morphisme qui envoie  $x = (x_1, \dots, x_n)$  sur  $f_\sigma(x)$  vérifiant:

- $[f_\sigma(x)] = \cup_{j \in [\sigma]} x_j$  si  $\sigma$  est de niveau un
- $[f_\sigma(x)] = f_{\sigma_1}(x) \cup \dots \cup f_{\sigma_q}(x)$  si  $\sigma$  est de niveau supérieur à un avec  $[\sigma] = \{\sigma_1, \dots, \sigma_q\}$ .

**Remarque 8.** Il existe une bijection canonique entre  $\Sigma_{p_1, p_1-1, \dots, p_1}(E)$  et  $\Sigma_{p_1, p_1-1, \dots, p_r, 1, p_r-1, \dots, p_1}(E)$ , et entre  $Hilb^{p_1, p_1-1, \dots, p_1}(X)$  et  $Hilb^{p_1, p_1-1, \dots, p_r, 1, p_r-1, \dots, p_1}(X)$ . Dans la suite, nous identifierons deux éléments qui se correspondent par l'une de ces bijections.

On appelle enrichissement de  $E$  (ou enrichissement tout court lorsque le contexte est clair) un ensemble  $\eta = \{\sigma_1, \dots, \sigma_s\}$  de structures de  $\{1, \dots, n\}$  contenant la structure  $\sigma = \{1, \dots, n\}$  de  $\Sigma_n(E)$ . Pour des raisons liées à la description des actions de groupe, on n'identifiera pas deux enrichissements  $\{\sigma_1, \dots, \sigma_s\}$  et  $\{\sigma_{p(1)}, \dots, \sigma_{p(s)}\}$  qui diffèrent l'un de l'autre par une permutation  $p$  des facteurs. Le niveau d'un enrichissement sera le plus grand des niveaux des  $\sigma_i$ .

**Définition 9.** Soit  $\eta = \{\sigma_1, \dots, \sigma_s\}$  un enrichissement. On définit  $H_\eta(X) := H_{\sigma_1}(X) \times H_{\sigma_2}(X) \times \dots \times H_{\sigma_s}(X)$  et  $f_\eta := f_{\sigma_1} \times f_{\sigma_2} \times \dots \times f_{\sigma_s} : F(X, n) \rightarrow H_\eta(X)$ .

Le groupe  $S(E) = S_n$  agit sur  $X^n$  par  $\tau.(x_1, \dots, x_n) = (x_{\tau(1)}, \dots, x_{\tau(n)})$ . L'action naturelle de  $S(E)$  sur  $E$  induit une action de  $S(E)$  sur l'ensemble  $\Sigma(E)$  des enrichissements. Un enrichissement  $\eta$  étant fixé, on note  $G_\eta$  le sous-groupe de  $S(E)$  stabilisant  $\eta$ .

**Proposition 10.** La plus petite sous-schéma fermé  $\overline{f_\eta(F(X, n))}$  de  $H_\eta(X)$  qui factorise  $f_\eta$  est une compactification du quotient  $F(X, n)/G_\eta$  qui se projette sur  $Hilb^n(X)$ .

*Démonstration:* puisque  $\eta$  contient l'enrichissement  $\{1, \dots, n\}$  par définition,  $Hilb^n(X)$  est un facteur de  $H_\eta(X)$  et l'existence d'une projection de  $\overline{f_\eta(F(X, n))} \subset H_\eta(X)$  sur  $Hilb^n(X)$  en résulte. Montrons que deux éléments  $x$  et  $y$  de  $F(X, n)$  ont même image par  $f_\eta$  ssi  $\exists g \in G_\eta$  t.q.  $g.x = y$ . Si  $x$  et  $y$  ont même image par  $f_\eta$ , alors ils ont même image par la composée  $F(X, n) \rightarrow H_\eta(X) \rightarrow Hilb^n(X)$ , donc il existe  $g \in S(E)$  tel que  $g.x = y$ . Pour conclure, il suffit donc de montrer pour  $g \in S(E)$  que  $f_\eta(x) = f_\eta(g.x)$  ssi  $g \in G_\eta$ . Il suffit pour cela de remarquer que  $f_\eta(g.x) = f_{g.\eta}(x)$  et que,  $x$  étant fixé dans  $F(X, n)$ ,  $f_\eta(x) = f_{\eta'}(x)$  ssi  $\eta = \eta'$  (récurrences faciles sur le niveau de  $\eta$ ). ■

**Remarque 11.** Dans la suite, on emploiera simplement le mot "compactification" sans préciser de quel quotient de  $F(X, n)$  il s'agit.

**Remarque 12.** On pourrait définir un enrichissement  $\eta$  sans imposer la condition:  $\eta$  contient  $\{1, \dots, n\}$ . Il faudrait alors demander que la projection naturelle de  $\Sigma(E)$  dans  $\mathcal{P}(E)$  envoie  $\eta$  sur  $E$  pour que le morphisme  $f_\eta$  soit à fibres finies et que l'image soit un quotient de  $F(X, n)$  par un sous-groupe de  $S(E)$ . On obtiendrait avec cette définition plus de compactifications mais les nouvelles compactifications ne se projettent plus sur  $\text{Hilb}^n(X)$ .

## 2.2 Définition par incidence.

On suppose ici fixé un enrichissement  $\eta$  de  $E$ , et on a donc un morphisme  $f_\eta : F(X, n) \rightarrow H_\eta(X)$  dont on veut caractériser géométriquement l'adhérence en termes d'incidence. Pour cela, on définit dans cette section les incidences liant les structures de  $\eta$ . Formellement, on pose  $I(\eta') = 1$  si  $\eta' = \{\sigma, \sigma_1, \dots, \sigma_s\} \subset \eta$  vérifie  $\sigma \subset \sigma_1 \cup \dots \cup \sigma_s$ . Pour chaque sous-enrichissement  $\eta' \subset \eta$  tel que  $I(\eta') = 1$ , on définit un sous-schéma  $\text{Inc}_{\eta', \eta}$  de  $H_\eta(X)$  et on pose  $R_\eta(X) := \bigcap_{I(\eta')=1} \text{Inc}_{\eta', \eta}$ . On vérifie que pour  $X$  lisse irréductible,  $f_\eta : F(X, n) \rightarrow H_\eta(X)$  se factorise par  $R_\eta(X)$ . Le schéma  $R_\eta(X)$  est le lieu d'incidence naturel de  $H_\eta(X)$  pour lequel on espère avoir l'égalité  $H_\eta(X) = \overline{f_\eta(F(X, n))}$ . Malheureusement, on verra que même en mettant toutes les inclusions possibles, l'adhérence et le lieu d'incidence ne coïncident pas toujours. Un enrichissement pour lequel l'adhérence et le lieu d'incidence coïncident pour toute variété lisse irréductible  $X$  sera appelé enrichissement admissible.

### 2.2.1 Définition des relations d'incidence sur les structures

Soit  $\eta' = \{\sigma, \sigma_1, \dots, \sigma_s\}$  un enrichissement. Définissons le booléen  $I(\eta')$ . On pose  $I(\eta') = 0$  s'il n'existe pas d'entiers  $p_1, \dots, p_l, n_1, \dots, n_s, q_1, \dots, q_r$  tels que  $\sigma \in \Sigma_{q_r, \dots, q_1, p_l, \dots, p_1}$ , et  $\sigma_i \in \Sigma_{n_i, p_l, \dots, p_1}$ . Si de tels entiers existent, on définit  $I(\eta')$  par récurrence sur  $r$ . Pour  $r = 1$ , on pose  $I(\eta') = 1$  ssi  $[\sigma] \subset [\sigma_1] \cup \dots \cup [\sigma_s]$  dans  $\Sigma_{p_l, \dots, p_1}(E)$ . Pour  $r > 1$  et  $\sigma = \{\tau_1, \dots, \tau_{q_r}\}$ , on pose  $I(\eta') = 1$  ssi  $\forall i, I(\{\tau_i, \sigma_1, \dots, \sigma_s\}) = 1$ .

### 2.2.2 Définition des relations d'incidence sur les schémas

Soit  $P$  un schéma projectif,  $B$  un schéma quelconque,  $F$  et  $G$  deux sous-schémas fermés respectifs de  $\text{Hilb}^{q_r, \dots, q_1}(P) \times B$  et  $P \times B$ .

Pour  $\eta'$  tel que  $I(\eta') = 1$ , on reprend les notations de 2.2.1 et on définit un sous-schéma  $\text{Inc}_{\eta'}$  de  $H_{\eta'}(X)$  par récurrence sur  $r$ .

*Le cas  $r=1$ .* Rappelons la proposition suivante ([Kee]):

**Proposition 13.** Soient  $F \rightarrow B$  et  $G \rightarrow B$  deux morphismes tels que  $F \rightarrow B$  soit plat et fini. Il existe un plus grand sous-schéma fermé  $\text{Inc}_B(F, G)$  de  $B$  tel que  $F \times_B \text{Inc}(F, G) \subset G \times_B \text{Inc}(F, G)$ . En outre,  $\text{Inc}_B(F, G)$  peut être caractérisé par la propriété suivante: un morphisme  $\varphi : Z \rightarrow B$  se factorise par  $\text{Inc}_B(F, G)$  ssi  $F \times_B Z \subset G \times_B Z$ .

Soient  $U, U_1, \dots, U_s$  les fermés universels de

$$(\text{Hilb}^{q_1, p_l, \dots, p_1}(X) \times \prod_{i=1}^s \text{Hilb}^{n_i, p_l, \dots, p_1}(X)) \times \text{Hilb}^{p_l, \dots, p_1}(X)$$

dont les fibres respectives au dessus de  $(h, h_1, \dots, h_s) \in (\text{Hilb}^{q_1, p_l, \dots, p_1}(X) \times \prod_{i=1}^s \text{Hilb}^{n_i, p_l, \dots, p_1}(X))$  sont  $[h], [h_1], \dots, [h_s]$ . Soit  $Z$  le sous-schéma défini par le produit  $I(U_1) \dots I(U_s)$  des idéaux des  $U_i$ . On pose  $\text{Inc}_{\eta'} = \text{Inc}_{\text{Hilb}^{q_1, p_l, \dots, p_1}(X) \times \prod_{i=1}^s \text{Hilb}^{n_i, p_l, \dots, p_1}(X)}(U, Z)$ .

Le cas  $r > 1$ . Le fermé  $Inc^-$  de  $Hilb^{q_{r-1}, \dots, q_1, p_1, \dots, p_1}(X) \times \prod_{i=1}^s Hilb^{n_i, p_1, \dots, p_1}(X)$  défini par la récurrence se projette sur  $\prod_{i=1}^s Hilb^{n_i, p_1, \dots, p_1}(X)$ . On définit  $Inc_{\eta'}$  comme le schéma de Hilbert relatif  $Hilb_{\prod_{i=1}^s Hilb^{n_i, p_1, \dots, p_1}(X)}^{q_r}(Inc^-)$  de cette projection.

Si  $\eta' \subset \eta$ , notons  $Inc_{\eta', \eta}$  le fermé de  $H_\eta(X)$  image inverse de  $Inc_{\eta'}$  par la projection naturelle  $H_\eta(X) \rightarrow H_{\eta'}(X)$ . Enfin, posons

$$R_\eta(X) = \bigcap_{\eta' \subset \eta, I(\eta')=1} Inc_{\eta', \eta}.$$

**Proposition 14.** *Si  $X$  est une variété, le plongement  $\overline{f_\eta(F(X, n))} \rightarrow H_\eta(X)$  se factorise par  $R_\eta(X)$ .*

*Démonstration:* on veut voir que si  $\eta' = \{\sigma, \sigma_1, \dots, \sigma_s\} \subset \eta$  vérifie  $I(\eta') = 1$  et si  $x \in F(X, n)$ , alors  $f_{\eta'}(x) \in Inc_{\eta'}$ . On procède par récurrence sur la différence  $d$  entre le niveau de  $\sigma$  et celui des  $\sigma_i$ .

*Le cas  $d = 0$ .* On a  $\sigma = \{\tau_1, \dots, \tau_q\}$ ,  $\sigma_i = \cup_{k \in I_i} \tau_k$ . Avec les notations utilisées dans la définition de  $Inc_{\eta'}$ , on a  $[h] = \cup_{i \leq q} f_{\tau_i}(x)$  et  $[h_i] = \cup_{k \in I_i} f_{\tau_k}(x)$  et on veut  $I([h]) \supset \prod I([h_i])$ . L'hypothèse  $I(\eta') = 1$  se traduit par  $\cup_i I_i \supset \{1, \dots, q\}$  et implique l'inclusion voulue des idéaux.

*Le cas  $d > 0$ .* Toujours avec les notations utilisées dans la définition de  $Inc_{\eta'}$ , il nous faut vérifier que  $(f_\sigma(x), f_{\sigma_1}(x), \dots, f_{\sigma_s}(x)) \in Hilb^{q_r}(Inc^-)$ . Avec  $\sigma = \{\tau_1, \dots, \tau_q\}$ , cela revient à voir pour tout  $i$  que  $(f_{\tau_i}(x), f_{\sigma_1}(x), \dots, f_{\sigma_s}(x)) \in Inc^-$ . Puisque  $I(\eta') = 1$ , on a pour tout  $i$ ,  $I(\tau_i, \sigma_1, \dots, \sigma_s) = 1$  et il suffit donc d'appliquer l'hypothèse de récurrence. ■

**Remarque 15.** *Il arrive que l'inclusion  $\overline{f_\eta(F(X, n))} \subset R_\eta(X)$  soit stricte.*

*Démonstration:* prenons  $E = \{1, 2, 3, 4\}$ ,  $\sigma_1 = \{1, 2\}$ ,  $\sigma_2 = \{1, 3\}$ ,  $\sigma_3 = \{1, 2, 3, 4\}$  et  $\eta = \{\sigma_1, \sigma_2, \sigma_3\}$ . Soient  $x \in F(X, 4)$  et  $p = (d, d', q)$  le point de  $H_\eta(X) = Hilb^2(X) \times Hilb^2(X) \times Hilb^4(X)$  défini par  $[d] = x_1 \cup x_2$ ,  $[d'] = x_1 \cup x_2$  et  $q = x_1 \cup x_2 \cup x_3 \cup x_4$ . Le point  $p$  est dans  $R_\eta(X)$  mais pas dans  $\overline{f_\eta(F(X, 4))}$  puisque le quadruplet est formé de quatre points distincts tandis que la réunion du support des deux doublets ne contient que deux points. ■

Dans la suite de ce papier, on s'intéressera aux compactifications qui sont sympathiques au sens où elles peuvent être définies géométriquement par des conditions d'incidence, ce qui nous conduit à la définition suivante.

**Définition 16.** *On appelle enrichissement admissible un enrichissement tel que pour toute variété lisse irréductible,  $\overline{f_\eta(F(X, n))} = R_\eta(X)$ .*

**Remarque 17.** *Nous n'avons en fait pas donné toutes les relations d'incidence possibles. On peut introduire plusieurs fonctions d'incidence jouant le rôle de la fonction  $I$  et pour chacune d'elles, construire un lieu d'incidence correspondant. La définition générale nécessite un formalisme lourd. Le point de vue adopté est d'introduire le formalisme minimum qui permette d'atteindre les applications voulues (construction d'une classe de compactifications qui contienne les variétés de collisions et les compactifications classiques).*

### 2.3 Définition par foncteurs représentables

Dans cette section, on explique pourquoi les schémas  $R_\eta(X)$  peuvent être définis par un foncteur représentable  $F_\eta$ . Cette définition a le double avantage d'être extrêmement maniable et de s'appliquer à tous les schémas en dehors du cadre des variétés réduites.

Le foncteur  $F_\eta$  sera défini par  $F_\eta(B) = \{ \text{familles } F_1, F_2 \dots \text{ de sous-schémas paramétrées par } B \text{ satisfaisant des conditions d'incidence} \}$ . Définissons maintenant ces conditions d'incidence.

**Proposition 18.** *On peut définir pour tout schéma projectif  $P$  et pour tous sous-schémas fermés  $Z \subset B \times \text{Hilb}^{q_r, \dots, q_1}(P)$  et  $T \subset B \times P$ , tels que  $Z$  soit plat sur  $B$  un sous-schéma fermé  $\underline{Inc}_B(Z, T)$  de  $B$  satisfaisant la propriété suivante: un morphisme  $\varphi : S \rightarrow B$  se factorise par  $\underline{Inc}_B(Z, T)$  ssi  $\underline{Inc}_S(S \times_B Z, S \times_B T) = S$*

*Démonstration:* si  $r = 0$ ,  $Z$  et  $T$  sont des sous-schémas de  $B \times P$  et il suffit de choisir  $\underline{Inc}_B(Z, T) = \text{Inc}(Z, T)$  en vertu de la proposition 13.

Si  $r \geq 1$ , on dispose d'un fermé

$$\tilde{T} \hookrightarrow (B \times \text{Hilb}^{q_r, \dots, q_1}(P)) \times P$$

image inverse de  $T$  par la projection sur  $B \times P$ , et d'un fermé  $\tilde{U} \hookrightarrow (B \times \text{Hilb}^{q_r, \dots, q_1}(P)) \times \text{Hilb}^{q_{r-1}, \dots, q_1}(P)$  image inverse de la famille universelle de  $\text{Hilb}^{q_r, \dots, q_1}(P) \times \text{Hilb}^{q_{r-1}, \dots, q_1}(P)$ . On peut par récurrence définir le lieu  $W = \underline{Inc}_{B \times \text{Hilb}^{q_r, \dots, q_1}(P)}(\tilde{U}, \tilde{T})$ . On définit alors  $\underline{Inc}_B(Z, T) := \text{Inc}_B(Z, W)$ .

Une récurrence sur  $r$  montre que si  $\varphi : S \rightarrow B$  est un changement de base,  $\underline{Inc}_B(Z, T) \times_B S = \underline{Inc}_S(Z \times_B S, T \times_B S)$ . En particulier, on a  $\underline{Inc}(S \times_B Z, S \times_B T) = S \Leftrightarrow \underline{Inc}_B(Z, T) \times_B S = S \Leftrightarrow \varphi$  se factorise en  $S \rightarrow \underline{Inc}_B(Z, T) \rightarrow B$ .  $\blacksquare$

**Définition 19.** *On dit que les sous-schémas  $Z \subset B \times \text{Hilb}^{q_r, \dots, q_1}(P)$  et  $T_i \subset B \times P$ ,  $i = 1, \dots, s$  vérifient la relation  $Z \subset T_1.T_2 \dots T_s$  si  $\underline{Inc}_B(Z, T) = B$ , où  $T \subset B \times P$  est défini par l'idéal produit  $\prod_{i=1}^s I(T_i)$ . La relation  $p \subset p_1.p_2 \dots p_s$  prend du sens en particulier quand  $p \in \text{Hilb}^{q_r, \dots, q_1, p_1, \dots, p_1}(X)$ ,  $p_i \in \text{Hilb}^{n_i, p_1, \dots, p_1}(X)$  en prenant  $P = \text{Hilb}^{p_1, \dots, p_1}(X)$ .*

**Remarque 20.** *Il ressort de cette définition que  $R_\eta(X)$  est le sous-schéma naturel de  $H_\eta(X) = H_{\sigma_1}(X) \times \dots \times H_{\sigma_s}(X)$  dont les points fermés sont les points  $(p_1, \dots, p_s)$  vérifiant  $p_{i_0} \subset p_{i_1} \dots p_{i_k}$  pour tout  $\eta' = (\sigma_{i_0}, \dots, \sigma_{i_k})$  tel que  $I(\eta') = 1$ .*

**Définition 21.** *Si  $\eta = \{\sigma_1, \dots, \sigma_s\}$  est un enrichissement de  $E$  avec  $\sigma_i \in \Sigma_{n_i, p_i, s(i), \dots, p_i, 1}(E)$ , on définit le foncteur  $F_\eta$  des schémas sur  $k$  dans les ensembles par:*

$$F_\eta(B) = \{(Z_1, \dots, Z_s), Z_i \subset B \times H_{\sigma_i}^-(X), \text{ plat et fini de degré } n_i \text{ sur } B,$$

$$t.q. I(\sigma_{i_0}, \sigma_{i_1}, \dots, \sigma_{i_k}) = 1 \Rightarrow Z_{i_0} \subset Z_{i_1}.Z_{i_2} \dots Z_{i_k}\}$$

**Proposition 22.** *Le foncteur  $F_\eta$  est représentable par le schéma  $R_\eta(X)$ .*

*Démonstration:* on veut voir qu'il est équivalent de se donner un élément de  $F_\eta(B)$  ou un morphisme  $\varphi : B \rightarrow R_\eta(X)$ . Par propriété universelle du schéma de Hilbert, les fermés  $Z_i$  définissant un élément de  $F_\eta(B)$  correspondent à un morphisme  $B \rightarrow H_\eta(X)$ . Les relations d'incidence entre les  $Z_i$ , la propriété universelle du schéma  $\underline{Inc}$  (prop. 18) et la remarque 20 montrent que ce morphisme se factorise en un morphisme  $\varphi : B \rightarrow R_\eta(X)$ . Réciproquement, il est clair par les mêmes arguments qu'un morphisme  $\varphi : B \rightarrow R_\eta(X)$  définit des  $Z_i$  satisfaisant les relations d'incidence.  $\blacksquare$

### 3 Propriétés des compactifications résultant des définitions

Dans cette section, on exploite la définition fonctorielle des schémas  $R_\eta(X)$  pour en donner les premières propriétés. Pour chacune des propriétés, on explique comment elle sera utilisée lors du théorème de classification.

#### 3.1 Changements de bases

Si  $\eta$  et  $\eta'$  sont deux enrichissements, pour montrer que pour tout  $X$ ,  $R_\eta(X) = R_{\eta'}(X)$ , il suffit de le montrer pour  $X$  lisse irréductible:

**Proposition 23.** *Soit  $Y$  un sous-schéma localement fermé d'un schéma  $X$ . Les schémas  $R_\eta(Y)$  et  $R_\eta(X) \times_{\text{Hilb}^n(X)} \text{Hilb}^n(Y)$  sont canoniquement isomorphes.*

*Démonstration:* vérifions que ces deux schémas représentent le même foncteur. Notons  $F$  et  $G$  les foncteurs associés à

$$R_\eta(Y) \text{ et } R_\eta(X) \times_{\text{Hilb}^n(X)} \text{Hilb}^n(Y)$$

Soit  $B$  un  $k$ -schéma. On veut établir une bijection canonique entre  $F(B)$  et  $G(B)$ . Posons  $\eta = \{\sigma_1, \dots, \sigma_s\}$ , où  $\sigma_s = \{1, \dots, n\}$ . Soit  $(Z_1, \dots, Z_s) \in F(B)$ . Alors  $(Z_1, \dots, Z_s, Z_s) \in G(B)$ . Réciproquement si  $(Z_1, \dots, Z_s, Z) \in G(B)$ , alors  $Z_s = Z \subset B \times \text{Hilb}^n(Y)$  puisque  $Z$  et  $Z_s$  définissent le même morphisme  $B \rightarrow H_\eta(X)$ . Et puisque  $Z_i \subset Z_s$ ,  $Z_i \subset B \times H_{\sigma_i}^-(X)$  est en fait dans  $B \times H_{\sigma_i}^-(Y)$  et  $(Z_1, \dots, Z_s, Z_s) \in F(B)$ . L'identification de  $F(B)$  et  $G(B)$  en découle. ■

#### 3.2 Morphismes d'oubli

**Proposition 24.** *Soient  $\eta$  et  $\eta'$  deux enrichissements avec  $\eta \subset \eta'$ . Il existe un morphisme d'oubli  $p_{\eta', \eta} : R_{\eta'}(X) \rightarrow R_\eta(X)$ . De plus,  $p_{\eta', \eta} \circ f_{\eta'} = f_\eta$ .*

*Démonstration:* la projection naturelle  $p_{\eta', \eta}$  de  $H_{\eta'}(X)$  sur  $H_\eta(X)$  envoie  $R_{\eta'}(X)$  dans  $R_\eta(X)$  par définition de ces lieux d'incidence. L'égalité  $p_{\eta', \eta} \circ f_{\eta'} = f_\eta$  est évidente. ■

La proposition suivante nous dit que, sous certaines conditions, le morphisme d'oubli est un isomorphisme. Elle réduira drastiquement le nombre de  $R_\eta(X)$  à étudier lors de la classification.

**Proposition 25.** *Soit  $\eta$  un enrichissement admissible et  $\eta' = \eta \cup \sigma$ . Supposons que  $\eta$  contienne deux enrichissements  $\sigma_1$  et  $\sigma_2$  de même niveau que  $\sigma$  vérifiant*

$$\begin{aligned} \sigma &\in \Sigma_{1, p_{l-1}, p_{l-2}, \dots, p_1}(E) = \Sigma_{p_{l-1}, p_{l-2}, \dots, p_1}(E) \\ \sigma_1 &\in \Sigma_{p_l, p_{l-1}, p_{l-2}, \dots, p_1}(E) \\ \sigma_2 &\in \Sigma_{p_{l-1}, p_{l-1}, p_{l-2}, \dots, p_1}(E) \\ \sigma_1 &= \sigma_2 \cup \{\sigma\} \end{aligned}$$

alors pour tout  $X$ , le morphisme d'oubli

$$p_{\eta', \eta} : R_{\eta'}(X) \rightarrow R_\eta(X)$$

est un isomorphisme.

**Lemme 26 (existence d'une application résiduelle).**

Soient  $F_1$  et  $F_2$  deux familles de  $B \times X$  plates et finies sur une base  $B$  vérifiant  $F_1 \subset F_2$ . Supposons que les polynômes de Hilbert des fibres de  $F_1$  et  $F_2$  soient respectivement  $p$  et  $p+1$ . Il existe un unique morphisme  $res(F_1, F_2) : B \rightarrow X$  dont le graphe  $Res(F_1, F_2)$  vérifie

$$I(F_1).I(Res(F_1, F_2)) \subset I(F_2)$$

On dira que  $res(F_1, F_2)$  est l'application résiduelle définie par l'inclusion  $F_1 \subset F_2$ . En particulier, pour deux sous-schémas de  $X$  de dimension zéro  $Y$  et  $Y'$  vérifiant  $Y \subset Y'$  et  $col(Y') = col(Y) + 1$ , il existe un schéma  $Res(Y, Y')$ .

*Démonstration du lemme:* montrons que le faisceau d'idéaux  $(I(F_2) : I(F_1))$  définit un fermé  $Z$  de  $B \times X$ , plat sur  $B$ , dont la fibre au dessus de tout point  $b$  de  $B$  est de degré un. Le problème est local sur  $B$  qu'on peut supposer affine. Les schémas  $F_1$  et  $F_2$  sont alors également affines. Puisqu'on a l'inclusion

$$(I(F_2) : I(F_1)) \supset I(F_2)$$

le sous-schéma  $Z$  défini par  $(I(F_2) : I(F_1))$  est un sous-schéma fermé de  $F_2$ . L'idéal de  $\mathcal{O}_{B \times X}/I(F_2)$  définissant  $Z$  comme sous-schéma de  $F_2$  est  $(I(F_2) : I(F_1))/I(F_2) = (0 : (I(F_1)/I(F_2)))$ . De la suite exacte

$$0 \rightarrow I(F_1)/I(F_2) \rightarrow \Gamma(F_2) \rightarrow \Gamma(F_1) \rightarrow 0$$

on déduit que  $I(F_1)/I(F_2)$  est un  $\Gamma(B)$ -module localement libre de rang un et, quitte à restreindre  $B$ , on peut supposer qu'il est libre engendré par un élément  $f$  de  $\Gamma(F_2)$ . Le diagramme commutatif à ligne exacte

$$\begin{array}{ccccc} & & & \Gamma(Z) & \\ & & & \nearrow & \searrow \\ 0 \rightarrow & 0 : (I(F_1)/I(F_2)) & \rightarrow & \Gamma(F_2) & \rightarrow \Gamma(F_2) \\ & & & \times_f & \end{array}$$

montre que  $\Gamma(Z) = \Gamma(F_2)/(0 : I(F_1)/I(F_2))$  s'identifie au sous  $\Gamma(B)$ -module de  $\Gamma(F_2)$  formé par les multiples de  $f$ . Finalement la suite exacte

$$0 \rightarrow \Gamma(Z) \rightarrow \Gamma(F_2) \rightarrow \Gamma(F_1) \rightarrow 0$$

montre que  $\Gamma(Z)$  est un  $\Gamma(B)$ -module plat, donc localement libre, de rang un. L'inclusion de  $Z$  dans  $B \times X$  induit un morphisme de  $B$  dans  $X$  ayant la propriété voulue.

Soit  $res(F_1, F_2)$  un morphisme ayant la propriété voulue. On a l'inclusion  $I(Res(F_1, F_2)) \subset (I(F_2) : I(F_1))$ . Deux familles, plates et finies de degré un sur la base et incluses l'une dans l'autre sont nécessairement égales donc  $I(Res(F_1, F_2)) = (I(F_2) : I(F_1))$ . ■

**Remarque 27.** Dans [LB], Le Barz a montré l'existence d'un résiduel pour deux sous-schémas  $Y$  et  $Y'$  de dimension zéro de  $X$ . Le lemme est une version relative du résultat de Le Barz

*Démonstration de la proposition 25:* quitte à réaliser  $X$  comme sous-schéma d'une variété lisse irréductible et à utiliser la proposition 23, on peut supposer  $X$  lisse irréductible. Posons  $\eta = \{\sigma_1, \sigma_2, \dots, \sigma_s\}$ . Le schéma  $R_\eta(X)$  est muni de fermés universels  $U_1, U_2, \dots, U_s$ . On définit le fermé  $U_\sigma$  de  $R_\eta(X) \times H_\sigma(X)$  par l'idéal  $I(U_\sigma) := (I(U_1) : I(U_2))$ . Les fermés universels  $U_1, U_2, \dots, U_s, U_\sigma$  définissent par propriété universelle un morphisme  $p_{\eta, \eta'} : R_\eta(X) \rightarrow R_{\eta'}(X)$ . Les morphismes  $p_{\eta, \eta'}$  et  $p_{\eta', \eta}$  sont par construction inverses l'un de l'autre. ■

### 3.3 Actions de groupes

On dispose d'une action naturelle du groupe symétrique  $S_n$  sur l'ensemble  $\{1, \dots, n\}$ . Cette action induit une action de  $S_n$  sur l'ensemble des structures de  $\{1, \dots, n\}$  par permutation des indices, puis une action sur l'ensemble des enrichissements par permutation des structures. On a la proposition évidente suivante.

**Proposition 28.** *Soient  $\eta$  et  $\eta'$  deux enrichissements de  $\{1, \dots, n\}$  qui sont dans la même orbite pour l'action de  $S_n$ . Alors les schémas  $R_\eta(X)$  et  $R_{\eta'}(X)$  sont isomorphes.*

Si  $\eta = \{\sigma_1, \dots, \sigma_r\}$ , on note  $G_\eta := \{g \in S_n \text{ t.q. } \exists p \in S_r, g \cdot \sigma_i = \sigma_{p(i)}\}$  et  $H_\eta := \{g \in S_n \text{ t.q. } \forall i, g \cdot \sigma_i = \sigma_i\}$ .

**Proposition 29.** *Pour tout  $X$ , il existe une action naturelle du quotient  $G_\eta/H_\eta$  sur le schéma  $R_\eta(X)$*

*Démonstration:* si  $\eta = \{\sigma_1, \dots, \sigma_r\}$ , un morphisme  $Z \rightarrow R_\eta(X)$  est défini par la donnée de fermés  $U_i \subset Z \times H_{\sigma_i}^-(X)$  ( $1 \leq i \leq r$ ) satisfaisant à des relations d'incidence. En particulier le morphisme identité de  $R_\eta(X)$  définit un ensemble de fermés  $U_1, \dots, U_r$ . Toute permutation  $g$  de  $G_\eta$  est associée à une permutation  $p$ . L'ensemble  $U_{p(1)}, \dots, U_{p(r)}$  définit par propriété universelle un endomorphisme  $\varphi_g$  de  $R_\eta(X)$ , qui est un automorphisme d'inverse  $\varphi_{g^{-1}}$ . L'application  $g \rightarrow \varphi_g$  définit une action de groupe de  $G_\eta$  sur  $R_\eta(X)$ . Puisque  $H_\eta \subset G_\eta$  n'agit pas, l'action se factorise en une action de  $G_\eta/H_\eta$ . ■

## 4 Etude et classification des compactifications pour $n \leq 3$ .

On veut classer les compactifications à isomorphisme près (au sens où deux compactifications  $C$  et  $C'$  d'un même quotient  $F(X, n)/Q$  sont isomorphes s'il existe un isomorphisme entre  $C$  et  $C'$  valant l'identité sur  $F(X, n)/Q$ ). En d'autres termes, on cherche une liste d'enrichissements admissibles tels que pour tout  $\eta$  admissible,  $R_\eta(X)$  est isomorphe à  $R_\beta(X)$  pour un unique  $\beta$  dans la liste des admissibles. Cette section donne la classification pour  $n = 2$  et  $n = 3$ .

### 4.1 Le cas $n = 2$ .

Le cas  $n = 2$  étant facile, nous nous contentons de donner le résultat. Les démonstrations sont des cas particuliers extrêmement simples du cas  $n = 3$  et nous les omettons par souci de concision.

Notons  $\eta_0$  l'enrichissement de  $\{1, 2\}$  contenant l'unique structure  $\{1, 2\}$ , et  $\eta_1$  l'enrichissement contenant les deux structures  $\{1, 2\}$  et  $\{1\}$ .

**Théorème 30.** *Tous les enrichissements de  $\{1, 2\}$  sont admissibles. Quel que soit  $X$  et quel soit l'enrichissement  $\eta$ ,  $R_\eta(X)$  est isomorphe à  $R_{\eta_0}(X)$  ou à  $R_{\eta_1}(X)$ . De plus,  $R_{\eta_0}(X) = \text{Hilb}^2(X)$  et, pour  $X$  lisse,  $R_{\eta_1}(X)$  est l'éclatement de  $X \times X$  le long de la diagonale.*

### 4.2 Le cas $n = 3$

La classification s'effectue en quatre étapes

1. exhiber "à la main" quelques enrichissements admissibles

2. exhiber quelques enrichissements non admissibles
3. établir des lemmes de contamination qui permettent, étant donné un enrichissement admissible  $\eta$ , de montrer que d'autres enrichissements  $\eta'$  sont admissibles.
4. traiter tous les enrichissements à partir des cas particuliers et des lemmes de contamination.

### 4.2.1 Notations

Dans cette section, on met en place les notations qui nous facilitent la manipulation des enrichissements. Notons  $E = \{1, 2, 3\}$ . On note les structures de niveau un de  $E$  à l'aide d'indices  $(\{i, j, k\} = \{1, 2, 3\})$ :

$$\begin{aligned}\sigma_i &= \{i\} \in \Sigma_1(E) \\ \sigma_{ij} &= \{i, j\} \in \Sigma_2(E) \\ \sigma_{123} &= \{1, 2, 3\} \in \Sigma_3(E)\end{aligned}$$

On note les structures de niveau deux à l'aide d'exposants:

$$\begin{aligned}\sigma^k &= \{\sigma_{ik}, \sigma_{jk}\} \in \Sigma_{2,2}(E) \\ \sigma^{123} &= \{\sigma_{12}, \sigma_{13}, \sigma_{23}\} \in \Sigma_{3,2}(E)\end{aligned}$$

On représente les enrichissements avec des indices et des exposants, suivant les structures contenues dans l'enrichissement

$$\eta_{b_1, b_2, \dots, b_s}^{a_1, a_2, \dots, a_r} := \{\sigma^{a_1}, \sigma^{a_2}, \dots, \sigma^{a_r}, \sigma_{b_1}, \sigma_{b_2}, \dots, \sigma_{b_s}\}$$

On utilisera également cette notation avec indices et exposants pour les schémas  $R_\eta(X)$  et  $H_\eta(X)$ :

$$\begin{aligned}R_{b_1, b_2, \dots, b_s}^{a_1, a_2, \dots, a_r}(X) &:= R_{\eta_{b_1, b_2, \dots, b_s}^{a_1, a_2, \dots, a_r}}(X) \\ H_{b_1, b_2, \dots, b_s}^{a_1, a_2, \dots, a_r}(X) &:= H_{\eta_{b_1, b_2, \dots, b_s}^{a_1, a_2, \dots, a_r}}(X)\end{aligned}$$

Parmi les enrichissements de niveau inférieur ou égal à deux, il y en a un maximum, celui qui contient toutes les structures de niveau inférieur ou égal à deux. On le notera  $\eta_{max}$  et  $R_{max}(X)$  le schéma de triplets de  $X$  correspondant. Enfin, si  $p$  est un point de  $X$ , on notera  $[[p]]$  le voisinage formel de  $p$  dans  $X$ , c'est à dire le morphisme naturel  $Spec \hat{A} \rightarrow X$ , où  $\hat{A}$  est la limite projective des  $A/\mathfrak{m}^n$ ,  $(A, \mathfrak{m})$  étant l'anneau local de  $X$  en  $p$ .

### 4.2.2 Quelques enrichissements admissibles

Dans cette section, on montre que les enrichissements  $\eta_{123}, \eta_{1,2,3,12,13,23,123}, \eta_{12,123}, \eta_{123}^1, \eta_{123}^{123}$  sont admissibles.

On sait que pour  $X$  lisse irréductible,  $Hilb^3(X)$  est irréductible et est l'adhérence de  $F(X, 3)/S_3$  donc  $\eta_{123}$  est admissible.

Le cas  $\eta_{1,2,3,12,13,23,123}$  a été traité dans [LB], où Le Barz a montré que cet enrichissement était admissible.

Pour les trois enrichissements  $\eta$  restant, on montre que si  $X$  est lisse irréductible, les  $R_\eta(X)$  sont irréductibles de dimension  $3 \cdot dim(X)$ . Cela suffit à montrer que les enrichissements sont admissibles

car l'unique composante irréductible de  $R_\eta(X)$  est nécessairement la compactification de  $f_\eta(F(X, 3))$ . Pour obtenir l'irréductibilité, on montre que les  $R_\eta(X)$  sont lisses connexes. Ils admettent des points spéciaux et la lissité se montre par un calcul en coordonnées locales au voisinage de ces points spéciaux. Le dimension de la composante irréductible est une conséquence de ce calcul local.

**Proposition 31.** *Soit  $\eta$  un enrichissement de  $\{1, 2, 3\}$  de niveau au plus deux. Soit  $X$  une variété lisse de dimension au moins deux. Soient  $x$  un point de  $X$ ,  $[d]$  un sous-schéma ponctuel de  $X$  de colongueur deux contenant  $x$ . Soit  $[t]$  un sous-schéma ponctuel de colongueur trois de  $X$  contenant  $[d]$  isomorphe à  $\text{Spec } k[x, y]/(x^2, xy, y^2)$  en tant que schéma abstrait. Il existe un point  $q(x, d, t)$  de  $R_\eta(X)$  entièrement déterminé par  $x, d$  et  $t$ .*

*Démonstration:* nous allons exhiber un point de  $R_{\eta_{\max}}(X)$  déterminé par  $x, d$  et  $t$ . L'image de ce point par le morphisme d'oubli  $p_{\eta_{\max}, \eta}$  sera le point  $q(x, d, t)$ . Les doublets inclus dans le triplet  $[t]$  forment un sous-schéma de  $\text{Hilb}^2(X)$  isomorphe à  $\mathbb{P}^1$ , et donc un doublet de doublets inclus dans le triplet correspond à un sous-schéma de degré deux du  $\mathbb{P}^1$ . Le doublet  $d$  inclus dans  $[t]$  est un point du  $\mathbb{P}^1$ . Il existe un unique sous-schéma de degré deux de  $\mathbb{P}^1$  supporté par  $d$ . On note  $d^2$  le point de  $\text{Hilb}^{2,2}(X)$  associé. On a par construction  $[d^2] \subset [t]$ . De même, on peut définir un point  $d^3$  de  $\text{Hilb}^{3,2}(X)$  pour lequel  $[d^3] \subset [t]$ . Considérons alors le point

$$p = (x, x, x, d, d, d, d^2, d^2, d^2, d^3, t)$$

de

$$\begin{aligned} H_1(X) \times H_2(X) &\times H_3(X) \times H_{12}(X) \times H_{13}(X) \times H_{23}(X) \\ &\times H^1(X) \times H^2(X) \times H^3(X) \times H^{123}(X) \times H_{123}(X) \end{aligned}$$

On vérifie que toutes les relations d'incidence sont satisfaites et donc  $p \in R_{\eta_{\max}}(X)$ . ■

**Proposition 32.** *Soient  $X$  une variété lisse connexe et  $\eta$  un enrichissement de  $\{1, 2, 3\}$  de niveau au plus deux. Le schéma  $R_\eta(X)$  est connexe.*

*Démonstration:* soient  $q$  un point de  $R_\eta(X)$  et  $q(x, d, t)$  un point spécial de  $R_\eta(X)$  au sens de la proposition 31. Nous allons déterminer une suite de points  $q_0 = q, q_1, \dots, q_n = q(x, d, t)$  telle que, pour tout  $i$ , il existe une courbe  $C_i$  dans  $R_\eta(X)$  contenant  $q_i$  et  $q_{i+1}$ .

Si  $\eta = \eta_{\max}$ , le point  $q$  est défini par ses coordonnées

$$p_1(q), p_2(q), p_3(q), p_{12}(q), p_{13}(q), p_{23}(q), p^1(q), p^2(q), p^3(q), p^{123}(q), p_{123}(q)$$

dans

$$X^3 \times \text{Hilb}^2(X)^3 \times \text{Hilb}^2(\text{Hilb}^2(X))^3 \times \text{Hilb}^3(\text{Hilb}^2(X)) \times \text{Hilb}^3(X)$$

Pour  $\eta$  quelconque,  $q$  est déterminé par un certain nombre de coordonnées parmi  $p_1(q), \dots, p_{123}(q)$ . Par définition d'un enrichissement, la coordonnée  $p_{123}$  fait toujours partie des coordonnées définissant  $q$ . Le support de  $p_{123}(q)$  est constitué d'au plus trois points. En bougeant  $p_{123}(q)$  le long d'une famille à un paramètre, on peut construire une courbe  $C_0$  dans  $R_\eta(X)$  telle que:  $C_0$  contienne  $q_0$  et un point  $q_1$  dont le triplet  $[p_{123}(q_1)]$  associé est ponctuel de support  $x$ .

Soit  $[[x]]$  le voisinage formel de  $x$  dans  $X$ . Le triplet  $[p_{123}(q_1)]$  est maintenant un sous-schéma de  $[[x]]$ . Puisqu'on a les relations d'incidence:

$$\begin{aligned} p_i(q_1) &\subset [p_{123}(q_1)] \subset [[x]] \\ [p_{ij}(q_1)] &\subset [p_{123}(q_1)] \subset [[x]] \\ [p^i(q_1)] &\subset [p_{123}(q_1)] \subset [[x]] \\ [p^{123}(q_1)] &\subset [p_{123}(q_1)] \subset [[x]] \end{aligned}$$

“tout se passe” dans le voisinage formel  $[[x]]$ . En particulier tout automorphisme  $\varphi_t$  de  $[[x]]$  définit un point  $\psi_t(q_1)$  de  $R_\eta(X)$ . En tant que schéma abstrait,  $[p_{123}(q_1)]$  est soit isomorphe à  $\text{Spec } k[y, z]/(y^2, yz, z^2)$ , soit isomorphe à  $\text{Spec } k[z]/z^3$ . Dans le premier cas, on définit  $q_2 = q_1$ . Dans le deuxième cas, et si on suppose que  $X$  est de dimension supérieure ou égale à trois, on peut choisir un isomorphisme

$$[[x]] \simeq \text{Spec } k[[y, z, t_1, t_2, \dots, t_n]]$$

dans lequel  $[p_{123}(q_1)]$  ait pour équations  $(y, z^3, t_1, \dots, t_n)$ . Pour tout  $t$  dans  $\mathbb{A}^1 - 0$ , on définit l'automorphisme  $\varphi_t$  de  $[[x]]$ :

$$\begin{aligned} y &\mapsto ty + z^2 \\ z &\mapsto z \\ t_i &\mapsto t_i \end{aligned}$$

On en déduit un morphisme

$$\begin{aligned} \psi : \mathbb{A}^1 - 0 &\rightarrow R_\eta(X) \\ t &\mapsto \varphi_t(q_1) \end{aligned}$$

Il existe un morphisme  $\tilde{\psi}$  prolongeant  $\psi$  en 0 et  $\infty$  et  $\tilde{\psi}(\infty) = q_1$ . Notons  $q_2 = \tilde{\psi}(0)$ . On vérifie par un petit calcul que  $[p_{123}(q_2)]$  est défini par l'idéal  $(y^2, yz, z^2, t_1, \dots, t_n)$ .

Les doublets inclus dans  $[p_{123}(q_2)]$  forment un  $\mathbb{P}^1$  et le morphisme de  $\mathbb{P}^1$  dans  $\text{Hilb}^2(X)$  correspondant peut être décrit de la façon suivante:

$$\begin{aligned} \mathbb{P}^1 &\rightarrow \text{Hilb}^2(X) \\ (h_0 : h_1) &\mapsto x \text{ avec } I([x]) = (h_0y - h_1z, y^2, yz, z^2, t_1, t_2, \dots, t_n) \end{aligned}$$

Choisissons la famille d'automorphismes suivantes de  $[[x]]$ .

$$\begin{aligned} \varphi_t : y &\mapsto ty \\ z &\mapsto z \\ t_i &\mapsto t_i \end{aligned}$$

Comme précédemment,  $\varphi_t$  induit un morphisme  $\tilde{\psi} : \mathbb{A}^1 \rightarrow R_\eta(X)$ . On a  $q_2 = \tilde{\psi}(1)$  et on cherche à comprendre  $q_3 := \tilde{\psi}(0)$ . Commençons par déterminer  $p^1(\tilde{\psi}(0))$ . Le point  $p^1(\tilde{\psi}(1))$  correspond à un sous-schéma de degré deux  $D$  du  $\mathbb{P}^1$  formé par les doublets inclus dans le triplet. Le morphisme  $\varphi_t$  induit un automorphisme  $\rho_t$  de  $\mathbb{P}^1$ :

$$\rho_t(h_0 : h_1) = (th_0 : h_1)$$

et  $p^1(\tilde{\psi}(t))$  correspond au sous-schéma  $\rho_t(D)$ . Si on a choisi un bon isomorphisme

$$[[x]] \simeq \text{Spec } k[[y, z, t_1, t_2, \dots, t_n]]$$

le support de  $D$  ne rencontre pas le point à l'infini  $(1 : 0)$ , le doublet  $d$  correspond au point  $(0 : 1)$  de  $\mathbb{P}^1$ , et alors  $[p^1(\tilde{\psi}(0))]$  est le sous-schéma de degré deux de  $\mathbb{P}^1$  supporté par  $d = (0 : 1)$ .

La même démonstration montre que tous les points

$$p^i(\tilde{\psi}(0)), p_{ij}(\tilde{\psi}(0)), p^{123}(\tilde{\psi}(0))$$

correspondent à des sous-schémas de  $\mathbb{P}^1$  supportés par  $d = (0 : 1)$ , ce qui signifie  $\tilde{\psi}(0) = q(x, d, t)$ . ■

**Remarque 33.** *on a fait la démonstration dans le cas où la dimension de  $X$  est supérieure ou égale à trois. Dans le cas où elle vaut deux, il suffit de supprimer les lignes contenant des “ $t_i$ ” dans la démonstration. Le cas de la dimension un est facile et laissé au lecteur.*

**Corollaire 34.** *Si  $R_\eta(X)$  admet un point singulier, alors les points  $q(x, d, t)$  sont singuliers.*

*Démonstration:* supposons  $R_\eta(X)$  singulier. La construction précédente définit une famille de courbes  $C_i$  joignant  $q$  à  $q(x, d, t)$ . Pour un point  $p$  de  $C_0$  différent de  $q_1$ , les deux voisinages formels  $[[p]]$  et  $[[q]]$  sont isomorphes. Donc si  $q_0 := q$  est singulier, tous les points de  $C_0$  différents de  $q_1$  sont singuliers. Par suite  $q_1$  est singulier. Le même raisonnement permet d'obtenir de proche en proche  $q_2, \dots, q_n = q(x, d, t)$  singuliers. ■

**Corollaire 35.** *Soient  $\eta$  est un enrichissement admissible et  $\eta_{res} \subset \eta$  l'ensemble des structures de niveau au plus deux de  $\eta$ . Si la fibre d'un morphisme d'oubli  $p_{\eta', \eta} : R_{\eta'}(X) \rightarrow R_\eta(X)$  est schématiquement réduite à un point au dessus des points  $q$  tels que  $p_{\eta, \eta_{res}}(q)$  est de la forme  $q(x, d, t)$ , alors  $p_{\eta', \eta}$  est un isomorphisme.*

*Démonstration:* la fibre au dessus d'un point général  $p = f_\eta(x)$ ,  $x \in F(X, 3)$  est non vide car elle contient  $f_{\eta'}(x)$ . Pour montrer l'isomorphisme, il suffit donc par semi-continuité de voir que toutes les fibres sont incluses dans un point. Toujours par semi-continuité et en raisonnant comme dans la proposition précédente, il suffit de le vérifier aux points spéciaux  $q$  tels que  $p_{\eta, \eta_{res}}(q)$  est de la forme  $q(x, d, t)$ , ce qui est vrai par hypothèse. ■

**Proposition 36.** *Soit  $X$  une variété lisse irréductible. Le schéma  $R_{12,123}(X)$  est une variété lisse irréductible de dimension  $3 \cdot \dim(X)$ . En particulier  $\eta_{12,123}$  est admissible.*

*Démonstration:* puisque  $R_{12,123}(X)$  est connexe (proposition 32), il suffit de vérifier la lissité, en les points spéciaux  $q(p, d, t)$  par 34. Supposons la variété  $X$  de dimension au moins trois. Pour un tel point  $q$ , on peut choisir un voisinage formel  $\text{Spec } k[[x, y, z_1, z_2, \dots, z_n]]$  de  $p$  dans lequel les équations de  $[d]$  et  $[t]$  sont respectivement:

$$I([d]) = (x^2, y, z_1, \dots, z_n)$$

$$I([t]) = (x^2, xy, y^2, z_1, z_2, \dots, z_n)$$

D'après [LB], le voisinage formel de  $d$  dans  $\text{Hilb}^2(X)$  est isomorphe à

$$\text{Spec } [[a, b, c, d, e_1, e_2, \dots, e_n, f_1, f_2, \dots, f_n]]$$

et le voisinage formel de  $t$  dans  $Hilb^3(X)$  est isomorphe à

$$Spec k[[u, u', u'', v, v', v'', \rho_1, \rho_2, \dots, \rho_n, \sigma_1, \sigma_2, \dots, \sigma_n, \theta_1, \theta_2, \dots, \theta_n]]$$

Les idéaux universels de  $Hilb^2(X)$  et  $Hilb^3(X)$  au dessus de ces voisinages formels sont:

$$I_{12} = (x^2 + ax + b, y - cx - d, z_i - e_i x - f_i)$$

$$I_{123} = (x^2 + ux + vy + w, xy + u'x + v'y + w', y^2 + u''x + v''y + w'', z_i + \rho_i x + \sigma_i y + \theta_i)$$

où  $w, w', w''$  sont des fonctions algébriques de  $u, u', u'', v, v', v''$ . Le voisinage formel de  $(d, t)$  dans  $R_{12,123}(X)$  est le lieu

$$Z \hookrightarrow Spec k[[a, b, c, d, e_i, f_i, u, u', u'', v, v', v'', \rho_i, \sigma_i, \theta_i]]$$

au dessus duquel  $I_{123} \subset I_{12}$ .

Le calcul de  $Z$  a déjà été effectué dans [LB] (Le Barz y parlait du lieu ensembliste mais il a effectué le calcul au moyen de divisions et les techniques développées dans [Ev] montrent qu'il a en fait calculé les lieux schématiques d'incidence). L'idéal de  $Z$  est le suivant:

$$I(Z) = (u - a + cv, b - dv - w, u' - ac + cv' + d, 2cd + cv'' + u'' - ac^2, \\ e_i + \sigma_i c + \rho_i, f_i + \theta_i + \sigma_i d)$$

et

$$Z \simeq Spec [[a, b, c, d, e_i, f_i, u, u', u'', v, v', v'', \rho_i, \sigma_i, \theta_i]]/I(Z) \\ \simeq Spec k[[a, c, d, v, v', v'', \rho_i, \sigma_i, \theta_i]]$$

Donc  $Z$  est lisse au point spécial et a la dimension attendue.

On a fait la démonstration dans le cas où  $X$  est de dimension au moins trois. Dans le cas où  $X$  est de dimension deux, il suffit d'ôter de la démonstration les lignes contenant des termes  $z_i$ . Le cas de la dimension un est facile et laissé au lecteur. ■

**Proposition 37.** *Si  $X$  est une variété lisse irréductible, le schéma  $R_{123}^1(X)$  est une variété lisse irréductible de dimension  $3 \cdot \dim(X)$ . En particulier  $\eta_{123}^1$  est admissible.*

*Démonstration:* pour les mêmes raisons que précédemment, nous allons montrer la lissité au point spécial dans le cas où  $X$  est de dimension deux.

Soit  $(p^1, p_{123})$  un point spécial de  $R_{123}^1(X)$ . Les objets en jeu sont un schéma ponctuel  $[p_{123}]$  de  $X$  de colongueur trois, un schéma  $[p^1]$  de  $Hilb^2(X)$  ponctuel de colongueur deux inclus dans  $[p_{123}]$ , un schéma  $[p_{12}]$  ponctuel de  $X$  où  $p_{12}$  est le support de  $[p^1]$ , un point  $p$  support à la fois de  $[p_{12}]$  et de  $[p_{123}]$ .

On peut choisir un voisinage formel  $Spec k[[x, y]]$  de  $p$  tel que:

- $I([p_{12}]) = (x^2, y)$ , le voisinage formel de  $p_{12}$  dans  $Hilb^2(X)$  est isomorphe à

$$Spec k[[a, b, c, d]]$$

et l'idéal universel de  $Hilb^2(X) \times X$  au dessus de cette carte est

$$(x^2 + ax + b, y - cx - d)$$

- $I([p_{123}]) = (x^2, xy, y^2)$ , le voisinage formel de  $p_{123}$  est isomorphe à

$$\text{Spec } k[[u, u', u'', v, v', v'']]$$

et l'idéal universel de  $\text{Hilb}^3(X) \times X$  au dessus de cette carte est

$$I_{123} = (x^2 + ux + vy + w, xy + u'x + v'y + w', y^2 + u''x + v''y + w'')$$

où  $w, w', w''$  sont des fonctions algébriques de  $u, u', u'', v, v', v''$ .

- le voisinage formel de  $p^1$  dans  $\text{Hilb}^{2,2}(X)$  est isomorphe à

$$\text{Spec } k[[e, f, g, h, i, j, l, m]]$$

et l'idéal universel de  $\text{Hilb}^{2,2}(X) \times \text{Hilb}^2(X)$  au dessus de cette carte est:

$$I^1 = (a - ec - f, b - gc - h, c^2 - ic - j, d - lc - m)$$

car  $[p^1]$  a pour équations  $a = b = c^2 = d = 0$  dans  $\text{Hilb}^2(X)$

D'après la démonstration précédente, le lieu  $Z$  de  $\text{Hilb}^2(X) \times \text{Hilb}^3(X)$  au dessus duquel  $I_{123} \subset I_{12}$  est donné par l'idéal

$$J = (u - a + cv, b - dv - w, u' - ac + cv' + d, 2cd + cv'' + u'' - ac^2)$$

En prenant l'image inverse par les projections évidentes,  $I^1$  et  $J$  peuvent être vus comme des idéaux de  $(\text{Hilb}^{2,2}(X) \times \text{Hilb}^3(X)) \times \text{Hilb}^2(X)$ . Par définition du lieu d'incidence, le lieu  $W$  de  $\text{Hilb}^{2,2}(X) \times \text{Hilb}^3(X)$  au dessus duquel  $[p^1] \subset [p_{123}]$  est le lieu au dessus duquel  $J \subset I^1$ .

Grâce au morphisme canonique  $\text{Spec } k[[a, b, c, d]] \rightarrow \text{Spec } k[a, b, c, d]$ , on peut supposer que  $I^1$  et  $J$  définissent des familles de sous-schémas d'un espace affine. On calcule alors le lieu d'incidence par divisions en utilisant le fait que les générateurs de  $I^1$  forment une base de Gröbner unitaire pour l'ordre homogène avec  $a > b > d > c$ .

Plutôt que d'écrire les divisions sous la forme traditionnelle

$$f = \sum \lambda_i f_i + R$$

où les  $f_i$  sont les générateurs de  $I^1$ , nous travaillerons dans

$$(k[[u, u', u'', v, v', v'', e, f, g, h, i, j, l, m]] \otimes k[a, b, c, d]) / I^1$$

et nous écrirons  $f = R$ . Moyennant cette convention, les divisions des générateurs de  $J$  par  $I^1$  s'écrivent:

$$cv + u - a = cv + u - ec - f = (u - f) + c(v - e)$$

donc  $I(W) \supset (e - v, u - f)$

$$dv + w - b = lcv + mv + w - gc - h$$

donc  $I(W) \supset (g - lv, h - w - vm)$ .

$$d + cv' + u' - ac = lc + m + cv' + u' - fc - eic - ej$$

donc  $I(W) \supset (l + v' - f - ei, m + u' - ej)$ .

$$\begin{aligned} 2cd + cv'' + u'' - ac^2 &= 2lc^2 + 2cm + cv'' + u'' - ejc + (-l - v')c^2 \\ &= (l - v')(ic + j) + 2cm + cv'' + u'' - ejc \end{aligned}$$

donc  $I(W) \supset (i(l - v') + 2m + v'' - ej, j(l - v') + u'')$ .

Finalement, on a donc

$$\begin{aligned} I(W) &= (e - v, u - f, g - lv, h - w - vm, l + v' - f - ei, m + u' - ej, \\ &\quad i(l - v') + 2m + v'' - ej, j(l - v') + u'') \end{aligned}$$

et

$$\begin{aligned} W &= \text{Spec } k[[u, u', u'', v, v', v'', e, f, g, h, i, j, l, m]]/I(W) \\ &= \text{Spec } k[[u', v', e, f, i, j]] \end{aligned}$$

$W$  est non singulier de dimension  $3.\dim(X)$ . ■

**Proposition 38.** *Soit  $X$  une variété lisse irréductible. Le schéma  $R_{123}^{123}(X)$  est une variété lisse irréductible de dimension  $3.\dim(X)$ . En particulier  $\eta_{123}^{123}$  est admissible.*

*Démonstration:* on fait ici aussi la démonstration dans le cas où  $X$  est de dimension deux.

Soit  $(p^{123}, p_{123})$  un point spécial de  $R_{123}^{123}(X)$ . Notons  $p_{12}$  le point de  $\text{Hilb}^2(X)$  défini par le support de  $[p^{123}]$ . On reprend les notations de la démonstration de la proposition 37 pour les voisinages formels des points  $p_{12}, p_{123}$  ainsi que pour l'idéal  $J$ .

Le voisinage formel de  $p^{123}$  est isomorphe à

$$\text{Spec } k[[e, f, g, h, i, j, l, m, n, o, p, q]]$$

et l'idéal universel de  $\text{Hilb}^{3,2}(X) \times \text{Hilb}^2(X)$  au dessus de cette carte est

$$I^{123} = (a - ec^2 - fc - g, b - hc^2 - ic - j, c^3 - lc^2 - mc - n, d - oc^2 - pc - q)$$

Il nous faut calculer le lieu  $W$  de

$$\text{Spec } k[[u, u', u'', v, v', v'', e, f, g, h, i, j, l, m, n, o, p, q]]$$

au dessus duquel  $I^{123} \supset J$ . On effectue des divisions:

$$cv + u - a = cv + u - ec^2 - fc - g$$

donc  $e = 0, g = u, f = v$  sur  $W$ .

$$dv + w - b = voc^2 + pcv + qv + w - hc^2 - ic - j$$

donc  $vo = h, vp = i, vq + w = j$  sur  $W$ .

$$d + cv' + u' - ac = oc^2 + pc + q + v'c + u' - fc^2 - gc$$

donc  $o = f$ ,  $p + v' = g$ ,  $q + u' = 0$  sur  $W$ .

$$\begin{aligned} 2cd + cv'' + u'' - ac^2 &= 2oc^3 + 2pc^2 + 2qc + cv'' + u'' - fc^3 - gc^2 \\ &= (2o - f)(lc^2 + mc + n) + (2p - g)c^2 + c(2q + v'') + u'' \end{aligned}$$

donc

$$I(W) \supset ((2o - f)l + 2p - g, (2o - f)m + 2q + v'', (2o - f)n + u'')$$

Au total

$$I(W) = (e, g - u, f - v, vo - h, vp - i, vq + w - j, o - f, p + v' - g, q + u', (2o - f)l + 2p - g, (2o - f)m + 2q + v'', (2o - f)n + u'')$$

et

$$\begin{aligned} W &= \text{Spec } k[[u, u', u'', v, v', v'', e, f, g, h, i, j, l, m, n, o, p, q]]/I(W) \\ &= \text{Spec } k[[l, m, n, o, p, q]] \end{aligned}$$

Donc  $W$  est lisse de dimension  $3 \cdot \dim(X)$ . ■

### 4.2.3 Quelques enrichissements non admissibles

Dans cette section, on montre que certains enrichissements ne sont pas admissibles. On utilise pour cela trois raisonnements différents, l'un donnant les énoncés 41, 42 et 43, un autre donnant les énoncés 44 et 45, et enfin un dernier pour l'énoncé 46

On déduit facilement du lemme suivant un critère de non admissibilité (corollaire 40).

**Proposition 39.** *Soit  $\eta$  un enrichissement admissible et  $\hat{t}$  un point de  $R_\eta(X)$ . Les conditions suivantes sont équivalentes quand  $X$  est lisse irréductible:*

- il existe un point  $p$  de  $F(X, 3)$  tel que  $\hat{t} = f_\eta(p)$
- le sous-schéma  $[p_{\eta, \eta_{123}}(\hat{t})]$  de  $X$  admet pour support trois points distincts.

*Démonstration:*

$1 \Rightarrow 2$  est évident.

$2 \Rightarrow 1$ : par définition d'un enrichissement admissible,  $\hat{t}$  est limite de points de  $f_\eta(F(X, 3))$ , ie. il existe  $\varphi : \text{Spec } k[[t]]_t \rightarrow F(X, 3)$  tel que  $f_\eta \circ \varphi$  se prolonge en le point special 0 de  $\text{Spec } k[[t]]$  en prenant la valeur  $\hat{t}$ . Pour conclure, il nous suffit de montrer que  $\varphi$  se prolonge en 0 puisqu'alors  $\hat{t} = f_\eta(\varphi(0))$ . Ce prolongement existe si le prolongement de  $f_{\eta_{123}} \circ \varphi$  est tel que  $[f_{\eta_{123}} \circ \varphi(0)]$  a pour support trois points distincts. Or cette affirmation est vraie puisque  $f_{\eta_{123}} \circ \varphi = p_{\eta, \eta_{123}} \circ f_\eta \circ \varphi$  se prolonge en 0 par  $p_{\eta, \eta_{123}}(\hat{t})$ . ■

**Corollaire 40.** *Si un point  $\hat{t}$  de  $R_\eta(X)$  satisfait la deuxième condition mais pas la première, alors  $\eta$  n'est pas admissible.*

Ce critère s'applique aux trois propositions suivantes.

**Proposition 41.** *L' enrichissement  $\eta_{1,2,123}$  n'est pas admissible*

*Démonstration:* le point  $(p_1, p_1, p_1 \cup p_2 \cup p_3) \in H_1(X) \times H_2(X) \times H_{123}(X)$  est un point de  $R_{1,2,123}(X)$  qui n'est pas dans  $f_{\eta_{1,2,123}}(F(X, 3))$  ■

**Proposition 42.** *Soit  $\eta$  un enrichissement de niveau deux contenant  $\sigma^1$  comme unique structure de niveau deux, contenant  $\sigma_1$  ou  $\sigma_2$ . Alors  $\eta$  n'est pas admissible.*

*Démonstration:* considérons le point  $p = (p_2, p_1, p_3, p^1, p_{123})$  de

$$H_1(X) \times H_2(X) \times H_3(X) \times H^1(X) \times H_{123}(X)$$

avec

$$[p_{ij}] = p_i \cup p_j \quad [p^1] = p_{12} \cup p_{13} \quad [p_{123}] = p_1 \cup p_2 \cup p_3$$

La projection de  $p$  sur  $H_\eta(X)$  est un point de  $R_\eta(X)$  qui n'est pas dans  $f_\eta(F(X, 3))$ . ■

**Proposition 43.** *Soit  $\eta$  un enrichissement de niveau deux contenant  $\sigma^1$  et  $\sigma^2$ , et tel que  $\eta \cap \{\sigma_{12}, \sigma_{13}, \sigma_{23}\} = \emptyset$ . Alors  $\eta$  est non admissible.*

*Démonstration:* considérons le point

$$\hat{t} = (p_1, p_2, p_3, p^1, p^1, p^3, p^{123}, p_1 \cup p_2 \cup p_3)$$

de

$$H_1(X) \times H_2(X) \times H_3(X) \times H^1(X) \times H^2(X) \times H^3(X) \times H^{123}(X) \times H_{123}(X)$$

Le point

$$p_{\eta_{1,2,3,123}, \eta}(\hat{t})$$

est un point de  $R_\eta(X)$  qui n'est pas dans  $f_\eta(F(X, 3))$ . ■

**Proposition 44.** *L'enrichissement  $\eta_{1,2,3,123}$  n'est pas admissible*

*Démonstration:* Soit  $X$  une surface lisse. On veut montrer que les schémas

$$\overline{f_{\eta_{1,2,3,123}}(F(X, 3))} \subset H_1(X) \times H_2(X) \times H_3(X) \times H_{123}(X)$$

et

$$R_{1,2,3,123}(X) \subset H_1(X) \times H_2(X) \times H_3(X) \times H_{123}(X)$$

sont différents. Pour cela, on les projette sur  $H_1(X) \times H_2(X) \times H_{123}(X)$ :

$$p : \overline{f_{\eta_{1,2,3,123}}(F(X, 3))} \rightarrow H_1(X) \times H_2(X) \times H_{123}(X)$$

$$q : R_{1,2,3,123}(X) \rightarrow H_1(X) \times H_2(X) \times H_{123}(X)$$

On considère un point

$$\hat{t} = (x, x, t) \in H_1(X) \times H_2(X) \times H_{123}(X)$$

où  $[t]$  est un deux gros point et  $x \subset [t]$ . On va montrer que la fibre  $p^{-1}(\hat{t})$  est réduite à un point et que ce n'est pas le cas de  $q^{-1}(\hat{t})$ .

Pour la deuxième affirmation, la fibre  $q^{-1}(\hat{t})$  est le lieu de  $H_3(X) = X$  formé par les  $x'$  tels que:

- $[t] \subset x.x.x'$

- $x' \subset [t]$

La première condition est vérifiée car on a déjà  $[t] \subset x.x$  La deuxième condition dit alors que  $q^{-1}(\hat{t}) = [t]$ , qui n'est pas réduit à un point.

Notons  $W$  l'image du morphisme  $p$ . Pour montrer la première affirmation, il nous suffit de construire un morphisme

$$W \rightarrow H_3(X) = X$$

qui envoie un point général  $(p_1, p_2, p_1 \cup p_2 \cup p_3)$  de  $W$  sur  $p_3$ . A l'aide de l'inclusion

$$W \subset H_1(X) \times H_2(X) \times H_{123}(X)$$

on récolte alors un morphisme

$$\varphi : W \rightarrow H_1(X) \times H_2(X) \times H_3(X) \times H_{123}(X)$$

qui envoie un point général  $(p_1, p_2, p_1 \cup p_2 \cup p_3)$  sur  $(p_1, p_2, p_3, p_1 \cup p_2 \cup p_3)$ . Donc

$$\varphi(W) \supset f_{\eta_1, 2, 3, 123}(F(X, 3))$$

et par suite,

$$\varphi(W) \supset \overline{f_{\eta_1, 2, 3, 123}(F(X, 3))}$$

Les fibres du morphisme

$$\overline{f_{\eta_1, 2, 3, 123}(F(X, 3))} \rightarrow W$$

sont incluses dans les fibres du morphisme

$$\varphi(W) \rightarrow W$$

qui sont réduites à un point.

Il nous reste à construire ce morphisme  $W \rightarrow X$ . Soit  $U$  l'ouvert  $f_{\eta_1, 2, 123}(F(X, 3))$  de  $W$ . Le morphisme

$$\begin{aligned} \varphi : U &\rightarrow W \times \text{Hilb}^2(X) \\ (p_1, p_2, p_{123}) &\mapsto (p_1, p_2, p_{123}, p_1 \cup p_2) \end{aligned}$$

définit une sous-variété

$$\overline{\varphi(U)} \subset W \times \text{Hilb}^2(X)$$

Un point  $(p_1, p_2, p_{123}, p_{12})$  de  $\overline{\varphi(U)}$  vérifie  $[p_{12}] \subset [p_{123}]$ . Cette condition reste vraie sur  $\overline{\varphi(U)}$  et on peut définir

$$\begin{aligned} \psi : \overline{\varphi(U)} &\rightarrow X \\ (p_1, p_2, p_{123}, p_{12}) &\mapsto \text{Res}([p_{12}], [p_{123}]) \end{aligned}$$

Pour montrer que  $\psi$  induit un morphisme  $W \rightarrow X$ , il suffit de vérifier que  $\psi$  est constant sur les fibres de la projection

$$\overline{\varphi(U)} \rightarrow W$$

Vérifions le sur un point spécial de  $W$ . Un tel point est de la forme  $(p, p, t)$  où  $[t]$  est un deux-gros point de support  $p$ . Un point de la fibre est de la forme  $(p, p, t, d)$  avec  $[d] \subset [t]$  et donc  $\text{Res}([d], [t]) = p$ . Le morphisme  $\psi$  est constant sur les fibres. ■

De la même manière, on montre:

**Proposition 45.** *Les enrichissements  $\eta_{1,2,123}^{123}$  et  $\eta_{1,2,3,123}^{123}$  ne sont pas admissibles.*

**Lemme 46.** *Soit  $\eta$  un enrichissement de  $\{1, 2, 3\}$  de niveau  $\geq 3$  dont les structures de niveau un et deux sont incluses dans l'ensemble  $\{\sigma_1, \sigma_2, \sigma_3, \sigma_{12}, \sigma_{13}, \sigma_{123}, \sigma^1\}$ . Alors  $\eta_0$  n'est pas admissible.*

*Démonstration:* soit  $p$  un point de  $X$ ,  $t$  un point de  $Hilb^3(X)$  tel que  $[t]$  soit supporté par  $p$  et isomorphe à  $Spec k[x, y]/(x^2, xy, y^2)$ . Soit  $d_1, \dots, d_6$  des points de  $Hilb^2(X)$  distincts tels que  $[d] \subset [t]$ . Définissons  $d^{ij} \in Hilb^{2,2}(X)$  par  $[d_{ij}] = d_i \cup d_j$ . Utilisons ces données pour construire un point de  $R_\eta(X)$  qui n'est pas dans  $\overline{f_\eta(F(X, 3))}$ . Notons  $\eta_1$  (resp.  $\eta_2$ ) l'ensemble des structures de niveau au plus deux (resp. au moins trois) de  $\eta$  de sorte que  $H_\eta(X) = H_{\eta_1}(X) \times H_{\eta_2}(X)$ . Si  $\sigma$  est une structure de niveau  $l$  de  $\eta_2$ , alors  $\sigma$  est dans  $\Sigma_{p2\dots 2}(E)$  où  $p$  vaut deux ou trois. On peut voir  $\sigma$  comme une structure de niveau  $l - 2$  sur  $\Sigma_{22}(E)$ . Puisque  $\Sigma_{22}(E)$  est un ensemble à trois éléments, il s'identifie à  $E$  par la bijection faisant correspondre  $\{\{i, j\}, \{i, k\}\}$  et  $\{i\}$ . La structure  $\sigma$  peut alors être identifiée à une structure  $\sigma'$  de niveau  $l - 2$  de  $E$ . Notons  $\eta'_2 := \cup_{\sigma \in \eta_2} \sigma'$ . Notons  $q$  la projection du point  $(p, p, p, d_1, d_2, d^{12}, t)$  de

$$H_{\sigma_1}(X) \times H_{\sigma_2}(X) \times H_{\sigma_3}(X) \times H_{\sigma_{12}}(X) \times H_{\sigma_{13}}(X) \times H_{\sigma^1}(X) \times H_{\sigma_{123}}(X)$$

sur  $H_{\eta_1}(X)$ . Puisque  $H_{\sigma'}(Hilb^{22}(X)) = H_\sigma(X)$ , le point  $P = (q, f_{\eta'_2}(d^{12}, d^{34}, d^{56}))$  est dans  $H_{\eta_1}(X) \times H_{\eta'_2}(H_{22}(X)) = H_\eta(X)$ . Vérifions que  $P$  est dans  $R_\eta(X)$  mais pas dans  $\overline{f_\eta(F(X, 3))}$ . Ce point n'est pas dans  $\overline{f_\eta(F(X, 3))}$  car si  $\sigma$  est une structure de niveau au moins trois de  $\eta$ , le point  $p_{\eta, \sigma}(P)$  est défini à l'aide d'au moins quatre doublets parmi  $d_1, \dots, d_6$ . Or, s'il était dans  $\overline{f_\eta(F(X, 3))}$ , il serait déterminé par au plus trois doublets. Pour voir qu'il est en revanche dans  $R_\eta(X)$ , il faut vérifier les relations d'incidence. Par construction de  $q$ , toutes les relations d'incidence liant les structures de niveau au plus deux sont vérifiées. Puisque la composante de  $P$  sur  $H_{\eta_2}(X)$  est de la forme  $f_{\eta'}(p)$  pour un point  $p$ , toutes les relations d'incidence concernant des structures de niveau au moins trois sont vérifiées. Pour les relations d'incidence, liant des structures de niveau au plus deux et des structures de niveau au moins trois, elles se vérifient soit trivialement, soit en utilisant le fait que les doublets  $[d_i]$  sont inclus dans  $[t]$  (nous laissons l'écriture précise de la liste des vérifications au lecteur). ■

#### 4.2.4 Lemmes de contamination

Cette section contient les propositions qui permettent de produire des enrichissements admissibles  $\eta'$  à partir d'enrichissements admissibles  $\eta$ .

La première de ces propositions a déjà été décrite: c'est la proposition 25.

**Proposition 47.** *Soit  $\eta$  un enrichissement admissible contenant  $\sigma_{12}$  et  $\sigma_{13}$ . Soit  $\eta' = \eta \cup \{\sigma^1\}$ . L'enrichissement  $\eta'$  est admissible et le morphisme d'oubli  $p_{\eta', \eta} : R_{\eta'}(X) \rightarrow R_\eta(X)$  est un isomorphisme.*

*Démonstration:* d'après 35, il suffit de démontrer que la fibre de  $p_{\eta', \eta}$  au dessus d'un point  $q = q(x, d, t)$  est incluse dans un point. Les doublets inclus dans le triplet  $[t]$  forment un sous-schéma de  $Hilb^2(X)$  isomorphe à  $\mathbb{P}^1$ . La fibre au dessus de  $q$  est le lieu  $Z$  de  $Hilb^{2,2}(X)$  formé par les doublets de doublets  $d^2$  vérifiant

$$\begin{aligned} [d^2] &\subset \mathbb{P}^1 \quad (\text{car } \sigma^1 \subset \sigma_{123}) \\ [d^2] &\subset d.d \quad (\text{car } \sigma^1 \subset \sigma_{12} \cup \sigma_{13}) \end{aligned}$$

Si  $Y \hookrightarrow X$  est un sous-schéma ponctuel de degré  $n$ , le lieu de  $\text{Hilb}^n(X)$  formé par les  $p$  tels que  $[p] \subset Y$  est schématiquement réduit à un point. Pour montrer la proposition, il nous suffit donc de montrer que  $\mathbb{P}^1 \cap d.d$  définit un sous-schéma de degré deux. Mais c'est clair car c'est un sous-schéma d'une courbe lisse défini par le carré d'un idéal maximal. ■

Les propositions suivantes se démontrent également par vérification au point spécial.

**Proposition 48.** *Soit  $\eta$  un enrichissement admissible contenant  $\sigma_{12}$  et  $\sigma^{123}$ . Soit  $\eta' = \eta \cup \{\sigma^3\}$ . L'enrichissement  $\eta'$  est admissible et le morphisme d'oubli  $p_{\eta',\eta} : R_{\eta'}(X) \rightarrow R_{\eta}(X)$  est un isomorphisme.*

**Proposition 49.** *Soit  $\eta$  un enrichissement admissible contenant  $\sigma_{12}$  et  $\sigma^3$ . Soit  $\eta' = \eta \cup \{\sigma^{123}\}$ . L'enrichissement  $\eta'$  est admissible et le morphisme d'oubli  $p_{\eta',\eta} : R_{\eta'}(X) \rightarrow R_{\eta}(X)$  est un isomorphisme.*

Les deux propositions suivantes expliquent que certains enrichissements  $\eta'$  sont admissibles car on peut trouver un enrichissement admissible  $\eta$  tel que  $R_{\eta'}(X)$  s'identifie à une famille universelle au dessus de  $R_{\eta}(X)$ .

**Proposition 50.** *Soit  $\eta = \{\theta_1, \dots, \theta_s\}$  un enrichissement admissible et*

$$\eta' = \eta \cup \{\sigma\}$$

avec

$$\sigma \in \{\sigma_1, \sigma_2, \sigma_3\}$$

Supposons qu'il existe des relations d'incidence liant  $\sigma$  aux  $\theta_i$  parmi lesquelles  $\sigma \subset \theta_i$  où  $\theta_i$  est une structure de niveau un. Supposons en outre que la fibre du morphisme d'oubli

$$f_{\eta'}(F(X, 3)) \rightarrow f_{\eta}(F(X, 3))$$

au dessus d'un point général  $(p_1, \dots, p_s)$  s'identifie au sous-schéma de  $H_{\sigma}(X)$  formé par les  $p_{\sigma}$  tels que  $p_{\sigma} \subset [p_i]$ . Alors  $\eta'$  est admissible.

*Démonstration:* on peut définir trois fermés de

$$H_{\eta'}(X) = H_{\theta_1}(X) \times \dots \times H_{\theta_s}(X) \times H_{\sigma}(X)$$

- le fermé  $\overline{f_{\eta'}(F(X, 3))}$
- le fermé  $R_{\eta'}(X)$  formé par les

$$(p_1, \dots, p_s, p_{\sigma})$$

satisfaisant certaines relations d'incidence notées  $\mathcal{R}_1, \dots, \mathcal{R}_r$

- le fermé  $Z$  qu'on définit de la façon suivante. C'est le sous-schéma contenant l'ensemble des points  $(p_1, \dots, p_s, p_{\sigma})$  soumis à des relations d'incidence. Ces relations d'incidence sont toutes les relations d'incidence précédentes qui ne mettent pas en jeu le point  $p_{\sigma}$  et la relation  $[p_{\sigma}] \subset [p_i]$ . C'est donc un sous-ensemble de relations de  $\mathcal{R}_1, \dots, \mathcal{R}_r$ .

Ces sous-schémas satisfont les inclusions

$$\overline{f_{\eta'}(F(X, 3))} \subset R_{\eta'}(X) \subset Z$$

Le schéma  $Z$  se projette sur  $R_{\eta}(X)$  par un morphisme  $p$ . Notons  $U$  l'ouvert dense  $f_{\eta}(F(X, 3))$  de  $R_{\eta}(X)$ . Par hypothèse on a l'égalité

$$Z \cap p^{-1}(U) = f_{\eta'}(F(X, 3))$$

Comme  $Z$  est plat sur  $R_{\eta}(X)$ , on obtient

$$Z = \overline{Z \cap p^{-1}(U)} = \overline{f_{\eta'}(F(X, 3))}$$

Par suite

$$R_{\eta'}(X) = \overline{f_{\eta'}(F(X, 3))}$$

et  $\eta'$  est admissible. ■

**Proposition 51.** *Soit  $\eta = \{\theta_1, \dots, \theta_s\}$  un enrichissement admissible et*

$$\eta' = \eta \cup \{\sigma\}$$

avec

$$\sigma \in \{\sigma_{12}, \sigma_{13}, \sigma_{23}\}$$

*Supposons qu'il existe des relations d'incidence liant  $\sigma$  aux  $\theta_i$  parmi lesquelles  $\sigma \subset \theta_i$  où  $\theta_i$  est une structure de niveau deux. Supposons en outre que la fibre du morphisme d'oubli*

$$f_{\eta'}(F(X, 3)) \rightarrow f_{\eta}(F(X, 3))$$

*au dessus d'un point général  $(p_1, \dots, p_s)$  s'identifie au sous-schéma de  $H_{\sigma}(X)$  formé par les  $p_{\sigma}$  tels que  $p_{\sigma} \subset [p_i]$ . Alors  $\eta'$  est admissible.*

*Démonstration:* comme ci-dessus,  $R_{\eta'}(X)$  s'identifie à une variété universelle et peut être obtenue comme adhérence de  $f_{\eta'}(F(X, 3))$ . ■

**Proposition 52.** *Soit  $\eta$  un enrichissement admissible de  $E = \{1, 2, 3\}$ ,  $s_l$  l'unique structure de  $\Sigma_{\underbrace{3, 2, \dots, 2}_{l-1 \text{ fois}}}(E)$ . Soit  $l_0 \geq 1$  le plus grand entier tel que  $s_{l_0} \in \eta$ . Si  $l_0 \geq 2$  alors  $\eta' := \eta \cup \{s_{l_0+1}\}$  est admissible et le morphisme d'oubli  $p_{\eta', \eta}$  est un isomorphisme.*

*Démonstration:* pour  $2 \leq i \leq l_0 - 1$ , posons  $\eta_i := \eta - \{s_{l_0}, s_{l_0-1}, \dots, s_{i+1}\}$ ,  $V_l := p_{\eta, \eta_l}(R_{\eta}(X))$ . Notons  $V_{l_0} = R_{\eta}(X)$ ,  $V_{l_0+1} = R_{\eta'}(X)$ ,  $p_{lk}$  le morphisme d'oubli de  $V_l$  dans  $V_k$  pour  $2 \leq k \leq l \leq l_0 + 1$ . Soit  $p_{l_0}$  un point de  $V_{l_0}$ ,  $p_s := p_{l_0, s}(p_{l_0})$ . On suppose que  $[p_{\eta, \eta_{123}}(p_{l_0})]$  est isomorphe à  $\text{Spec } k[x, y]/(x^2, xy, y^2)$ . On va montrer que  $[p_{\eta, \{s_2\}}(p_{l_0})]$  est curviligne, puis que si  $[p_{\eta, \{s_i\}}(p_{l_0})]$  est curviligne, alors la fibre de  $p_{l+1, l}$  au dessus de  $p_l$  est schématiquement incluse dans un point et  $[p_{\eta, \{s_{i+1}\}}(p_{l_0})]$  est aussi curviligne. Ces résultats impliqueront par récurrence que la fibre de  $p_{l_0+1, l_0}$  au dessus de  $p_{l_0}$  est incluse dans un point, ce qui suffit pour établir la proposition d'après 35. Tout d'abord,  $p_{\eta, \{s_2\}}(p_{l_0})$  est inclus dans  $p_{\eta, \eta_{123}}(p_{l_0})$  puisque  $\{s_2\} \subset \sigma_{123}$ . Puisque les doublets inclus dans  $[p_{\eta, \{\eta_{123}\}}(p_{l_0})]$  forment un  $\mathbb{P}^1$ , cela implique que  $[p_{\eta, \{s_2\}}(p_{l_0})]$  est curviligne. Un calcul en coordonnées locales montre que si  $Z$  est un

sous-schéma ponctuel de degré trois curviligne d'une variété  $Y$ , alors le lieu schématique de  $Hilb^2(Y)$  paramétrant les doublets  $d$  inclus dans  $Z$  est également un triplet ponctuel curviligne. Le lieu de  $Hilb^{3,2}(Y)$  paramétrant les triplets de doublets inclus dans  $Z$  est alors réduit schématiquement à un point. En particulier, si  $Z = [p_{\eta, \{s_i\}}(p_{l_0})]$  est curviligne, la fibre  $F$  de  $p_{l+1, l}$  vue comme sous-schéma de  $H_{s_{l+1}}$  est schématiquement formée de triplets de doublets inclus dans  $Z$ , donc est réduite à au plus un point. Pour  $l < l_0$ ,  $F$  est non vide car elle contient  $p_{\eta, \{s_{l+1}\}}(p_{l_0})$ . Donc  $[p_{\eta, \{s_{l+1}\}}(p_{l_0})]$  est curviligne par ce qui précède. ■

**Proposition 53.** *Soit  $\eta$  un enrichissement admissible contenant deux structures  $e \in \Sigma_{322\dots 2}$  et  $g \in \Sigma_{122\dots 2}$  de même niveau  $l$ . Alors  $[g] \subset [e]$ . En outre, si  $f$  est défini par  $[f] = [e] - [g]$ , alors  $\eta' := \eta \cup \{f\}$  est admissible et le morphisme d'oubli  $p_{\eta', \eta}$  est un isomorphisme.*

*Démonstration:* l'inclusion  $[g] \subset [e]$  se montre aisément par récurrence sur le niveau. Le même raisonnement que dans la proposition précédente montre que la fibre spéciale du morphisme d'oubli s'identifie à un lieu  $L \subset Hilb^2(W)$  paramétrant des doublets  $d$  vérifiant  $[d] \subset [t]$  et  $I([d])I([p]) \subset I([t])$ , où  $[t] \subset W$  est un triplet curviligne ponctuel et où  $p$  est le support de  $[t]$ . Mais le résiduel d'un schéma dans un schéma curviligne étant bien défini,  $[d]$  est nécessairement le résiduel de  $p$  dans  $[t]$  et la fibre est schématiquement réduite à un point. ■

#### 4.2.5 Classification en niveau au plus deux

Dans cette section, on classe tous les compactifications de niveau au plus deux. Pour cela, on commence par produire une liste d'enrichissements admissibles:

**Proposition 54.** *Les enrichissements*

$$\begin{aligned} & \{\eta_{123}, \eta_{1,123}, \eta_{1,2,3,12,123}, \eta_{3,12,123} \\ & \eta_{123}^1, \eta_{1,2,3,12,13,123}^1, \eta_{123}^{123} \\ & \eta_{1,123}^{123}, \eta_{3,12,123}^{3,123}, \eta_{1,2,3,12,123}^{3,123}, \eta_{max}\} \end{aligned}$$

sont admissibles

On montre ensuite qu'on a ainsi toutes les compactifications à isomorphisme de compactifications près:

**Proposition 55.** *Soit  $\eta$  un enrichissement admissible de niveau au plus deux. Il existe une permutation  $g$  de  $\{1, 2, 3\}$ , il existe un enrichissement  $\theta$  parmi les onze enrichissements du corollaire précédent tel que  $\theta \supset g.\eta$  et tel que le morphisme d'oubli  $p_{\theta, g.\eta}$  soit un isomorphisme.*

*Démonstration de la proposition 54:* soient  $\eta \subset \eta'$  deux enrichissements avec  $\eta$  admissible. Supposons que l'on puisse trouver une suite d'enrichissements

$$\eta_0 := \eta \subset \eta_1 \dots \subset \eta_p = \eta'$$

telle que

$$\eta_{i+1} = \eta_i \cup \{\theta_{i+1}\}$$

où  $\eta_i, \eta_{i+1}, \theta_{i+1}$  jouent le rôle de  $\eta, \eta', \sigma$  d'une des propositions 25,47,48, 49,50,51. Alors  $\eta'$  est admissible. On dira que  $\eta'$  domine  $\eta$  et que la suite  $\theta_1, \dots, \theta_p$  est une suite de domination.

- $\eta_{123}$  est admissible car  $R_{123}(X) = \text{Hilb}^3(X)$  étant irréductible, l'ouvert  $f_{\sigma_{123}}(F(X, 3))$  est dense.
- $\eta_{1,123}$  domine  $\eta_{123}$  ( $\sigma_1$  est une suite de domination)
- $\eta_{1,2,3,12,123}$  domine  $\eta_{12,123}$  (suite:  $\sigma_1, \sigma_2, \sigma_3$ ) qui est admissible par 36
- $\eta_{3,12,123}$  domine  $\eta_{12,123}$  (suite:  $\sigma_3$ ) qui est admissible par 36
- $\eta_{123}^1$  est admissible par 37
- $\eta_{1,2,3,12,13,123}^1$  domine  $\eta_{123}^1$  (suite:  $\sigma_{12}, \sigma_{13}, \sigma_2, \sigma_3, \sigma_1$ )
- $\eta_{123}^{123}$  est admissible par 38
- $\eta_{1,123}^{123}$  domine  $\eta_{123}^{123}$  (suite:  $\sigma_1$ )
- $\eta_{3,12,123}^{3,123}$  domine  $\eta_{123}^{123}$  (suite:  $\sigma_{12}, \sigma_3, \sigma^3$ )
- $\eta_{1,2,3,12,123}^{3,123}$  domine  $\eta_{3,12,123}^{3,123}$  (suite:  $\sigma_1, \sigma_2$ )
- $\eta_{max}$  domine  $\eta_{123}^{123}$  (suite:  $\sigma_{12}, \sigma^3, \sigma_{13}, \sigma_{23}, \sigma_1, \sigma_2, \sigma_3, \sigma^1, \sigma^2$ )

■

*Démonstration de la proposition 55:* choisir un enrichissement de  $\{1, 2, 3\}$  de niveau inférieur ou égal à deux, c'est choisir un sous-ensemble de

$$\{\sigma_1, \sigma_2, \sigma_3, \sigma_{12}, \sigma_{13}, \sigma_{23}, \sigma^1, \sigma^2, \sigma^3, \sigma^{123}, \sigma_{123}\}$$

contenant  $\sigma_{123}$ . Il y a donc  $2^{10}$  tels enrichissements et il nous faut d'abord les classifier pour pouvoir montrer la proposition. Nous allons le faire suivant les doublets déterminés par l'enrichissement.

Commençons par la remarque suivante. Soit  $E$  un ensemble fini et  $F$  un sous-ensemble de l'ensemble  $\mathcal{P}(E)$  des parties de  $E$ . Le sous-ensemble  $G := \cup_{f \in F} f$  de  $E$  est naturellement stratifié par la partition la plus grossière  $P \subset \mathcal{P}(E)$  pour laquelle:

$$\forall f \in F, f = \cup_{p_i \in P} p_i.$$

Considérons maintenant  $E = \{\sigma_{12}, \sigma_{13}, \sigma_{23}\}$  et

$$\mathcal{P}(E) = \{\sigma_{12}, \sigma_{13}, \sigma_{23}, \sigma^1, \sigma^2, \sigma^3, \sigma^{123}\}.$$

Un enrichissement  $\eta$  détermine un ensemble  $F_\eta$  de  $\mathcal{P}(E)$ :

$$F_\eta := \eta \cap \mathcal{P}(E) \subset \mathcal{P}(E)$$

donc un ensemble partitionné  $G_\eta$  inclus dans  $E$ . Sept cas sont possibles:

- cas un:  $G_\eta = \emptyset$  ( $\eta$  ne détermine aucun doublet)
- cas deux:  $G_\eta$  est un singleton ( $\eta$  détermine un doublet)
- cas trois:  $G_\eta$  contient deux éléments et la partition est grossière ( $\eta$  détermine deux doublets indistinguables)

- cas quatre:  $G_\eta$  contient deux éléments et la partition divise  $G_\eta$  en deux singletons ( $\eta$  détermine deux doublets ordonnés)
- cas cinq:  $G_\eta$  contient trois éléments et la partition est grossière
- cas six:  $G_\eta$  contient trois éléments et la partition divise  $G_\eta$  en une paire et un singleton
- cas sept:  $G_\eta$  contient trois éléments et la partition divise  $G_\eta$  en trois singletons

Disons que deux enrichissements  $\eta \subset \eta'$  sont identifiables si le morphisme  $p_{\eta',\eta}$  est un isomorphisme. Nous allons montrer en examinant les  $\eta$  cas par cas que, si  $\eta$  est admissible de niveau au plus deux, on peut ajouter des structures à  $\eta$  et obtenir un des enrichissements modèles  $\eta'$  de la proposition 54, identifiable à  $\eta$ . Dans ce qui suit, les couples d'enrichissements identifiables sont donnés par les propositions 25, 47, 48, 49.

Remarquons qu'un enrichissement  $\eta$  s'écrit

$$\eta = F_\eta \cup \{\sigma_{123}\} \cup E_\eta$$

où  $E_\eta$  est un sous-ensemble de  $\{\sigma_1, \sigma_2, \sigma_3\}$ .

*Cas un:*  $F_\eta$  est vide donc, à permutation près des indices,  $\eta$  est l'un des enrichissements suivants:

$$\eta_{123}, \eta_{1,123}, \eta_{1,2,123}, \eta_{1,2,3,123}$$

Les deux premiers enrichissements font partie des enrichissements modèles. Le troisième enrichissement n'est pas admissible par 41. Le dernier n'est pas non plus admissible par 44.

*Cas deux:* on a à l'action du groupe près  $F_\eta = \{\sigma_{12}\}$  et on peut supposer que  $\eta \supset \sigma_3$  car  $\eta$  et  $\eta \cup \sigma_3$  sont identifiables. On a alors deux cas. Si  $\eta$  ne contient ni  $\sigma_1$ , ni  $\sigma_2$ , alors  $\eta = \eta_{3,12,123}$  qui est un des enrichissements modèles. Si  $\eta$  contient  $\sigma_1$  ou  $\sigma_2$ , par exemple  $\sigma_1$  par symétrie. Alors  $\eta$  est identifiable à  $\eta \cup \sigma_2 = \eta_{1,2,3,12,123}$  qui est l'un des enrichissements modèles.

*Cas trois:* on a à permutation près  $F_\eta = \sigma^1$ . Soit  $\eta = \eta_{123}^1$  qui est l'un des enrichissements modèles. Soit  $\eta$  contient l'une des structures  $\sigma_1, \sigma_2, \sigma_3$  et dans ce cas,  $\eta$  n'est pas admissible. En effet, on peut supposer à symétrie près que  $\eta \supset \sigma_1$  ou  $\eta \supset \sigma_2$  et  $\eta$  n'est alors pas admissible par 42.

*Cas quatre:* à permutation près, les seules possibilités pour  $F_\eta$  sont

$$(F_\eta \supset \{\sigma_{12}, \sigma^1\} \text{ ou } F_\eta \supset \{\sigma_{12}, \sigma_{13}\})$$

et

$$F_\eta \subset \{\sigma_{12}, \sigma_{13}, \sigma^1\}$$

Mais quitte à remplacer  $\eta$  par un enrichissement qui lui est identifiable, on peut supposer dans le premier cas que  $\eta \ni \sigma_{13}$  et dans le deuxième cas que  $\eta \ni \sigma^1$ . On est donc ramené à  $F_\eta = \{\sigma_{12}, \sigma_{13}, \sigma^1\}$ . Dans ce cas,  $\eta$  est identifiable à  $\eta_{1,2,3,12,13,123}^1$  qui est l'un des enrichissements modèles.

*Cas cinq:* on a  $F_\eta = \{\sigma^{123}\}$  et, à symétrie près,  $\eta$  est l'un des enrichissements suivants:

$$\eta_{123}^{123}, \eta_{1,123}^{123}, \eta_{1,2,123}^{123}, \eta_{1,2,3,123}^{123}$$

Les enrichissements  $\eta_{123}^{123}$  et  $\eta_{1,123}^{123}$  font partie des enrichissements modèles tandis que  $\eta_{1,2,123}^{123}$  et  $\eta_{1,2,3,123}^{123}$  ne sont pas admissibles par 45.

*Cas six:* on peut supposer que le doublet déterminé par la partition est  $\sigma_{12}$  et que le doublet de doublets est  $\sigma^3$ . On a alors  $F_\eta \subset \{\sigma_{12}, \sigma^3, \sigma^{123}\}$  et en outre l'une des trois situations suivantes:

- $\eta \supset \{\sigma_{12}, \sigma^3\}$
- $\eta \supset \{\sigma_{12}, \sigma^{123}\}$
- $\eta \supset \{\sigma^{123}, \sigma^3\}$

Dans chacune des situations, on peut trouver un enrichissement  $\eta'$  identifiable à  $\eta$  avec  $F_{\eta'} = \{\sigma_{12}, \sigma^{123}, \sigma^3\}$  et  $\eta' \supset \sigma_3$ .

Si  $\eta'$  ne contient ni  $\sigma_1$ , ni  $\sigma_2$  alors  $\eta'$  est l'enrichissement modèle  $\eta_{3,12,123}^{3,123}$ . Dans le cas contraire, on peut supposer par symétrie que  $\eta'$  contient  $\sigma_1$  et  $\eta'$  est alors identifiable à l'enrichissement modèle  $\eta_{1,2,3,12,123}^{3,123}$ .

*Cas sept:*

- Si  $\eta$  ne contient aucun doublet de doublets, ie. si  $F_\eta \cap \{\sigma^1, \sigma^2, \sigma^3\} = \emptyset$ , alors  $\eta$  contient au moins deux doublets, par exemple  $\sigma_{12}, \sigma_{13}$ . Il est donc identifiable à un enrichissement contenant  $\sigma^1(*)$ . On peut donc supposer que  $\eta$  contient  $\sigma^1$ . Maintenant, soit  $\eta \supset \sigma_{23}$ , soit  $\eta \supset \sigma^{123}$ . Mais dans le deuxième cas, on peut faire une nouvelle identification pour avoir  $\eta \supset \sigma_{23}$ . Donc  $\eta$  est identifiable à un enrichissement contenant  $\sigma_{12}, \sigma_{13}$  et  $\sigma_{23}$ . Mais tout enrichissement admissible contenant les trois doublets est identifiable à  $\eta_{max}$ .
- Si  $\eta$  contient exactement un doublet de doublets, par exemple si  $F_\eta = \{\sigma^1\}$ . A symétrie près, on peut supposer que  $\eta$  contient  $\sigma_{12}$  et alors  $\sigma_{13}$  est un résiduel. On s'est donc ramené à la situation (\*) de ci-dessus.
- Si  $\eta$  contient au moins deux doublets de doublets, par exemple  $\sigma^1$  et  $\sigma^2$ . Alors  $\eta$  contient au moins une structure  $\sigma$  parmi  $\{\sigma_{12}, \sigma_{13}, \sigma_{23}\}$  d'après 43. Par résiduel, on retrouve alors les deux autres doublets à partir de  $\sigma^1, \sigma^2$  et  $\sigma^3$ . Donc on peut supposer que  $\eta$  contient les trois doublets. Il est alors identifiable à  $\eta_{max}$ .

■

#### 4.2.6 Classification en niveau supérieur à deux

On a classifié dans la section précédente les compactifications de  $F(X, 3)$  et de ses quotients de niveau au plus deux. On montre dans cette section qu'on avait en fait déjà toutes les compactifications, indépendamment du niveau. L'énoncé précis suivant achève de démontrer le théorème 1.

**Proposition 56.** *Pour tout enrichissement  $\eta$  admissible de niveau au moins trois, il existe deux enrichissements admissibles  $\eta_1$  et  $\eta_2$  où  $\eta_1$  est de niveau au plus deux tels que  $\eta \subset \eta_2$ ,  $\eta_1 \subset \eta_2$ , et tels que les morphismes d'oubli  $p_{\eta_2, \eta}$  et  $p_{\eta_2, \eta_1}$  soient des isomorphismes de compactification.*

*Démonstration:* la démarche consiste à prendre un enrichissement  $\eta_2$  "maximal" en un sens à préciser. On montre que ce  $\eta_2$  contient nécessairement certaines structures. Puis on supprime dans un ordre

bien choisi les structures de  $\eta_2$  pour obtenir  $\eta_1$  de sorte que les morphismes d'oubli successifs soient des isomorphismes. Plus précisément, soit  $\eta_2$  un enrichissement de même niveau  $l_\eta$  que  $\eta$ , contenant  $\eta$ , tel que  $p_{\eta_2, \eta}$  soit un isomorphisme et qui soit maximal (au sens de l'inclusion) pour ces propriétés. Si l'ensemble des structures de niveau au plus deux de  $\eta_2$  est (à permutation de l'ensemble  $\{1, 2, 3\}$  près) inclus dans  $\{\sigma_1, \sigma_2, \sigma_3, \sigma_{12}, \sigma_{13}, \sigma_{123}, \sigma^1\}$ , alors  $\eta$  n'est pas admissible d'après 46. Donc, d'après la démonstration de 55, on en déduit que  $\eta_2$  détermine trois doublets et que  $\sigma^{123} \in \eta_2$ . Puisque  $E = \{1, 2, 3\}$  est de cardinal trois, une récurrence évidente montre que  $\Sigma_{p22\dots 2}(E)$  est de cardinal 3 si  $p = 2$ , 1 si  $p = 3$  et 0 si  $p > 3$ . De plus, de la proposition 52, on déduit que  $\eta_2$  contient l'élément  $e$  de  $\Sigma_{322\dots 2}(E)$  de niveau  $l_\eta$ . Si  $\eta_2$  contient un élément  $f$  de  $\Sigma_{222\dots 2}(E)$  de niveau  $l_\eta$ , alors  $\eta_2$  contient  $g \in \Sigma_{122\dots 2}(E)$  où  $[g] \cup [f] = [e]$  d'après 25. On en déduit par 48 que  $p_{\eta, \eta - \{f\}}$  est un isomorphisme. En répétant l'opération avec tous les éléments  $f_i$  de  $\Sigma_{222\dots 2}(E)$  de niveau  $l_\eta$ , on obtient un isomorphisme  $p_{\eta, \eta - \{f_1, \dots, f_s\}}$  où  $e$  est l'unique structure de niveau  $l_\eta$  de  $\eta - \{f_1, \dots, f_s\}$ . L'application de 52 montre ensuite que si on note  $\eta'_2 = \eta - \{f_1, \dots, f_s, e\}$  l'ensemble des structures de niveau  $l_\eta - 1$  de  $\eta_2$ , alors le morphisme d'oubli  $p_{\eta_2, \eta'_2}$  est un isomorphisme. En répétant cette procédure, on montre que si  $\eta''_2$  est l'ensemble des structures de niveau  $l_\eta - 2$  de  $\eta_2$ , alors  $p_{\eta, \eta''_2}$  est un isomorphisme. De proche en proche, on obtient finalement que si  $\eta_1$  est l'ensemble des structures de niveau au plus deux de  $\eta_2$ , alors  $p_{\eta_2, \eta_1}$  est un isomorphisme. ■

### 4.3 Démonstration du théorème 5

Si  $\eta$  et  $\eta'$  sont deux enrichissements tels qu'il existe  $g \in S_3$  avec  $g \cdot \eta \subset \eta'$ , il existe un morphisme d'oubli  $R_{\eta'}(X) \rightarrow R_{g \cdot \eta}(X) = R_\eta(X)$ . Tous les morphismes du théorème 5 sont obtenus ainsi.

Définissons maintenant la stratification sur  $R_\eta(X)$ . Notons  $\eta(p_1, \dots, p_1) := \eta \cap \Sigma_{p_1, \dots, p_1}(E)$ ,  $\mathcal{P}_\eta(p_1, \dots, p_1)$  l'ensemble des parties de  $\eta(p_1, \dots, p_1)$ ,  $E_{3, \eta} := \{\sigma \in \eta \text{ t.q. } \exists l \geq 0, \sigma \in \Sigma_3 \underbrace{22 \dots 2}_{l \text{ fois}}(E)\}$ ,

$E_{2, \eta} := \{\sigma \in \eta \text{ t.q. } \exists l > 0, \sigma \in \Sigma \underbrace{22 \dots 2}_{l \text{ fois}}(E)\}$ . Les strates de la stratification sur  $R_\eta(X)$  sont paramétrées

par l'ensemble

$$\text{Conf}(\eta) := \{3, 2, c, g\}^{E_{3, \eta}} \times \{2, 1\}^{E_{2, \eta}} \times \prod_{p_1, \dots, p_1} \mathcal{P}_\eta(p_1, \dots, p_1)$$

où  $\{3, 2, c, g\}^{E_{3, \eta}}$  représente les fonctions de  $E_{3, \eta}$  dans  $\{3, 2, c, g\}$ . Si  $c = (f, g, \Pi P(p_1, \dots, p_1)) \in \text{Conf}(\eta)$ , et si  $\eta = \{\sigma_1, \dots, \sigma_r\}$ , la strate de  $R_\eta(X)$  correspondant à  $c$  est  $S_c := \{(p_1, \dots, p_r) \text{ t.q.} :$

- $\forall \sigma_i \in E_{3, \eta}$ ,  $[p_i]$  est constitué de trois points distincts si  $f(\sigma_i) = 3$ , de deux points distincts si  $f(\sigma_i) = 2$ , est un schéma ponctuel curviligne si  $f(\sigma_i) = c$ , un deux gros point si  $f(\sigma_i) = g$
- $\forall \sigma_i \in E_{2, \eta}$ ,  $[p_i]$  est constitué de deux points distincts si  $g(\sigma_i) = 2$ , est un schéma ponctuel si  $g(\sigma_i) = 1$
- $\forall \{\sigma_i, \sigma_j\} \subset \eta(p_1, \dots, p_1)$ ,  $p_i = p_j$  ssi  $\{\sigma_i, \sigma_j\} \subset P(p_1, \dots, p_1)$

Si  $\eta \subset \eta'$ , l'image inverse par un morphisme d'oubli d'une strate de  $R_\eta(X)$  est une réunion de strates de  $R_{\eta'}(X)$ . En effet, on a par restriction une application de  $\{3, 2, c, g\}^{E_{3, \eta'}} \times \{2, 1\}^{E_{2, \eta'}}$  dans  $\{3, 2, c, g\}^{E_{3, \eta}} \times \{2, 1\}^{E_{2, \eta}}$ . L'intersection avec  $\eta$  donne une application  $\mathcal{P}_{\eta'}(p_1, \dots, p_1) \rightarrow \mathcal{P}_\eta(p_1, \dots, p_1)$ . On peut utiliser ces applications pour définir une application produit  $q$  de  $\text{Conf}(\eta')$  dans  $\text{Conf}(\eta)$ . L'égalité  $p_{\eta', \eta}^{-1}(S_c) = \cup_{q(c')=c} S_{c'}$  montre que l'image inverse d'une strate est bien une réunion de strates.

L'une des strates de  $R_\eta(X)$  est  $f_\eta(F(X, 3))$  (correspondant à  $f$  constante égale à 3, à  $g$  constante égale à 2, et aux parties  $P(p_l, \dots, p_1)$  vides). C'est une strate ouverte de façon évidente et dense par définition d'un enrichissement admissible.

Il nous reste à mettre en évidence une strate fermée incluse dans l'adhérence de toutes les autres strates. Pour la variété  $R_{1,2,3,12,13,12,123}$ , la strate correspondant à  $f$  constante égale à  $g$ , à  $g$  constante égale à 1, et aux parties  $P(p_l, \dots, p_1) = \eta(p_l, \dots, p_1)$  est formée des points de la forme  $q(p, d, t)$  au sens de la proposition 31. Il résulte de [LB] que cette strate est fermée incluse dans l'adhérence de toutes les autres strates. L'image inverse  $S$  de cette strate spéciale par l'isomorphisme  $R_{1,2,3,12,13,12,123}(X) \simeq R_{max}(X)$  est encore fermée et incluse dans l'adhérence de toutes les autres strates. Si  $\eta \subset \eta_{max}$  est un enrichissement quelconque,  $p_{\eta_{max}, \eta}(S)$  est la strate de  $R_\eta(X)$  formée des points de la forme  $q(p, d, t)$ . Elle est fermée comme image d'une variété projective, incluse dans l'adhérence de toutes les autres strates par continuité que  $p_{\eta_{max}, \eta}(S)$ . ■

**Remarque 57.** *On peut en fait montrer que l'adhérence d'une strate de la stratification précédente est une réunion de strates.*

## 5 Etude des quotients par les actions naturelles

On a vu à la section 3 que chaque schéma  $R_\eta(X)$  est naturellement muni d'une action de groupe. Dans cette section nous déterminons les quotients des schémas  $R_\eta(X)$  par ces actions quand  $\eta$  est l'un des enrichissements du théorème de classification, i.e. nous montrons les théorèmes 3 et 4 de l'introduction.

L'idée pour déterminer les quotients  $R_\eta(X)/G$  et les morphismes quotients consiste à trouver pour chaque  $\eta$  un enrichissement  $\eta' \subset \eta$  tel que  $R_{\eta'}(X) \simeq R_\eta(X)$  et tel que l'action du groupe sur  $R_{\eta'}(X)$  soit plus facilement maîtrisable. Toutes les démonstrations étant identiques, nous ne traiterons qu'un seul cas. Montrons par exemple  $R_{1,2,3,12,13,123}^1(X)/S_2 = R_{123}^1(X)$ .

Nous avons vu lors de la classification que  $R_{1,2,3,12,13,123}^1(X)$  était isomorphe à

$$R_{12,13,123}^1(X) \subset H_{12}(X) \times H_{13}(X) \times H^1(X) \times H_{123}(X)$$

et l'action de  $S_2$  sur cette variété est:

$$\varepsilon \cdot (p_{12}, p_{13}, p^1, p_{123}) = (p_{13}, p_{12}, p^1, p_{123})$$

où  $\varepsilon$  est l'élément de  $S_2$  différent de l'identité.

Quand la caractéristique du corps est première au cardinal d'un groupe  $G$ , quand ce groupe  $G$  agit sur un schéma projectif  $Y$  en laissant un sous-schéma  $Z$  invariant, le schéma quotient  $Z/G$  est naturellement un sous-schéma de  $Y/G$ . Dans notre cas, cela veut dire qu'on a:

$$\begin{aligned} R_{12,13,123}^1(X)/S_2 &\hookrightarrow (H_{12}(X) \times H_{13}(X) \times H^1(X) \times H_{123}(X))/S_2 \\ &= \\ &(H_{12}(X) \times H_{13}(X))/S_2 \times H^1(X) \times H_{123}(X) \end{aligned}$$

car  $S_2$  n'agit pas sur les deux derniers facteurs.

Il existe un morphisme naturel

$$\varphi : H^1(X) = \text{Hilb}^{2,2}(X) \rightarrow (\text{Hilb}^2(X) \times \text{Hilb}^2(X))/S_2 = (H_{12}(X) \times H_{13}(X))/S_2$$

définissant une sous-variété

$$V \hookrightarrow (H_{12}(X) \times H_{13}(X))/S_2 \times H^1(X) \times H_{123}(X)$$

formée par les  $(p, q, r)$  tels que  $p = \varphi(q)$ . La projection

$$V \rightarrow H^1(X) \times H_{123}(X)$$

est un isomorphisme. Le quotient  $R_{12,13,123}^1(X)/S_2$  est une sous-variété de  $V$  comme on le vérifie en un point général. On peut donc le projeter par un isomorphisme sur  $H^1(X) \times H_{123}(X)$ . En résumé le morphisme quotient

$$R_{1,2,3,12,13,123}^1(X) \rightarrow H^1(X) \times H_{123}(X)$$

s'écrit comme composée:

$$\begin{array}{ccc} R_{1,2,3,12,13,123}^1(X) \rightarrow R_{12,13,123}^1(X) \subset H_{12}(X) \times H_{13}(X) & \times & H^1(X) \times H_{123}(X) \\ & & \downarrow \\ & & (H_{12}(X) \times H_{13}(X))/S_2 \times H^1(X) \times H_{123}(X) \\ & & \downarrow \\ & & H^1(X) \times H_{123}(X) \end{array}$$

C'est donc simplement un morphisme d'oubli et l'image de  $R_{1,2,3,12,13,123}^1(X)$  par ce morphisme d'oubli est  $R_{123}^1(X)$ . ■

## 6 Comparaison aux constructions classiques

Nous allons dans cette section montrer que nos compactifications englobent les compactifications de  $F(X, n)$  de Schubert-Semple-Le Barz, de Kleiman pour  $n \leq 3$ , et de Cheah, ainsi que leurs quotients. Pour cela nous nous contentons de rassembler ici le travail déjà effectué par Le Barz et par Keel. L'ensemble des résultats de cette section est résumé par le théorème 6.

On peut montrer en revanche ([Ev1]) que la compactification  $X[3]$  de Fulton-MacPherson n'est isomorphe à aucune de nos variétés de triplets.

Comme il est évident d'après les définitions que notre construction englobe les schémas étudiés par Cheah ([Ch]), nous n'aborderons ici que les deux autres constructions.

### 6.1 La variété de Schubert-Semple

Cette compactification  $W_6^*$  de  $F(\mathbb{P}^2, 3)$  est définie comme la sous-variété de

$$\mathbb{P}^2 \times \mathbb{P}^2 \times \mathbb{P}^2 \times \mathbb{P}^{2*} \times \mathbb{P}^{2*} \times \mathbb{P}^{2*} \times \mathbb{G}(2, \mathbb{P}^5)$$

formée par les  $(p_1, p_2, p_3, D_{12}, D_{13}, D_{23}, \Sigma)$  tels que

- la droite  $D_{ij}$  contient les points  $p_i$  et  $p_j$
- $\Sigma$  est un réseau de coniques de  $\mathbb{P}^2$  contenant les coniques d'idéal  $I(D_{ij}).I(D_{jk})$ .

Schubert voulait à des fins énumératives une variété universelle lisse paramétrant les triangles du plan, éventuellement dégénérés. Mais une construction de cette variété dans:  $\mathbb{P}^2 \times \mathbb{P}^2 \times \mathbb{P}^2 \times \mathbb{P}^{2*} \times \mathbb{P}^{2*} \times \mathbb{P}^{2*}$  donnerait une variété singulière. L'introduction du réseau de coniques est un moyen géométrique de désingulariser cette variété.

Comme l'a montré Le Barz,  $R_{1,2,3,12,13,23,123}(X)$  coïncide avec la construction de Schubert-Semple dans le cas où  $X = \mathbb{P}^2$ . Le point  $(p_1, p_2, p_3, p_{12}, p_{13}, p_{23}, p_{123})$  de  $X \times X \times X \times \text{Hilb}^2(X) \times \text{Hilb}^2(X) \times \text{Hilb}^2(X) \times \text{Hilb}^3(X)$  correspond au point de la construction de Schubert-Semple dont les droites  $D_{ij}$  sont les droites qui contiennent le schéma  $[p_{ij}]$ , et dont le réseau de coniques est formé par les coniques contenant  $[p_{123}]$ .

D'après l'étude des passages au quotient, le quotient de  $R_{1,2,3,12,13,23,123}(X) \simeq R_{\max}(X)$  par  $S_3$  est  $R_{123}^{123}(X)$  et le quotient par  $S_2$  est  $R_{3,12,123}^{3,123}(X)$ .

## 6.2 Les variétés de Kleiman

Ces compactifications  $X_r$  de  $F(X, r)$  ont été introduites dans [K] et elles ont été abondamment étudiées depuis ([R],[DO],[W],[Hb] par exemple).

Leur définition est donnée par récurrence sur  $r$ . On pose  $X_0 := \text{Spec } k$ ,  $X_1 := X$  et  $X_{r+1} = \text{Bl}_\Delta(X_r \times_{X_{r-1}} X_r)$ , où  $\Delta$  est la diagonale. Géométriquement, un point de  $X_r$  correspond à un  $r$ -uplet ordonné  $(p_1, \dots, p_r)$ . Chaque  $p_i$  est soit un point de  $X$ , soit un point infiniment voisin (ie. un point situé sur une surface  $\tilde{X}$  obtenue par éclatement successifs de points).

Pour  $r = 2$ , les variétés  $X_2 = \text{Bl}_\Delta(X \times X)$  et  $R_{1,12}(X)$  sont isomorphes.

Keel a montré l'isomorphisme  $R_{1,2,3,12,13,123}(X) \simeq X_3$  [Kee]. D'après la classification et l'étude des quotients,  $X_3/S_2 \simeq R_{1,2,3,12,13,123}^1(X)/S_2 = R_{123}^1(X)$ .

# Bibliographie

- [B]: Briançon J., Description de  $Hilb^n C\{x, y\}$ , Invent .Math. 41, (1977)
- [CF]: Collino A., Fulton W., Intersection rings of spaces of triangles, Colloque en l'honneur de Pierre Samuel, Mém. Soc. Math. France, no. 38, (1989), 75-117.
- [Ch]: Cheah J., Cellular decompositions for nested Hilbert schemes of points, Pacific J. Math. 183 (1998), no. 1, 39–90.
- [DO]: Dolgachev I., Ortland D., Points sets in projective spaces and theta functions, Astérisque, 165, (1988)
- [E]: Eisenbud D., Commutative Algebra with a view towards algebraic geometry, Springer
- [Ev]: Evain L., Collisions de gros points sur une surface, en préparation.
- [Ev1]: Evain L., Collisions de trois gros points sur une surface algébrique, Thèse, Nice, (1997)
- [FMP]: Fulton W., MacPherson R., A compactification of configuration of spaces, Annals of Math., 139 (1994)
- [Hb]: Harbourne B., Iterated blow-ups and moduli for rational surfaces, Lecture Notes, 1311, (1988)
- [K]: Kleiman S., Multiple point formulas I: Iteration, Acta. Math., 147,(1981)
- [Kee]: Keel S., Functorial construction of Le Barz's triangle space with applications, Transactions of the A.M.S., 335, (1993)
- [LB]: Le Barz P., La variété des triplets complets, Duke Math., 57, (1988)
- [R]: Ran Z., Curvilinear enumerative geometry, Acta. Math., 155, (1985)
- [RS]: Roberts J., Speiser R., Enumerative geometry of triangles, Comm. Algebra 12 ,(1984), no. 9-10, 1213-1255
- [Sch]: Schubert H., Anzahlgeometrische Behandlung des Dreieckes, Math. Ann. 17 (1880)
- [S]: Semple J.G., The triangle as a geometric variable, Mathematika 1, (1954), 80-88
- [SK]: Semple J.G., Kneebone G., Algebraic curves, Oxford University press, London, (1959)
- [Ty]: Tyrell J.E., , Mathematika 6, (1959), 158-164
- [W]: Walter C., Collisions of clusters of infinitely near points, non publié.